

(19) 日本国特許庁(JP)

再公表特許(A1)

(11) 国際公開番号

W02013/073538

発行日 平成27年4月2日 (2015.4.2)

(43) 国際公開日 平成25年5月23日 (2013.5.23)

(51) Int.Cl.			F I			テーマコード (参考)		
<b>GO1D</b>	<b>5/38</b>	<b>(2006.01)</b>	GO1D	5/38	A	2F065		
<b>GO3F</b>	<b>7/20</b>	<b>(2006.01)</b>	GO3F	7/20	521	2F103		
<b>H01L</b>	<b>21/027</b>	<b>(2006.01)</b>	H01L	21/30	516B	5F146		
<b>GO1B</b>	<b>11/00</b>	<b>(2006.01)</b>	H01L	21/30	515G			
			GO1B	11/00	G			

審査請求 未請求 予備審査請求 未請求 (全 29 頁)

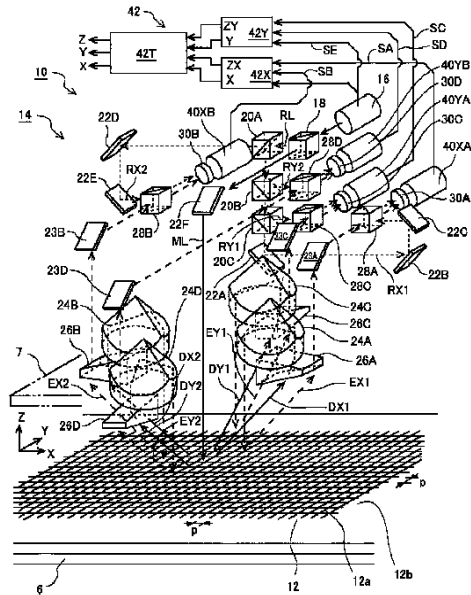
<p>出願番号 特願2013-544274 (P2013-544274)</p> <p>(21) 国際出願番号 PCT/JP2012/079432</p> <p>(22) 国際出願日 平成24年11月13日 (2012.11.13)</p> <p>(31) 優先権主張番号 特願2011-251986 (P2011-251986)</p> <p>(32) 優先日 平成23年11月17日 (2011.11.17)</p> <p>(33) 優先権主張国 日本国 (JP)</p>	<p>(71) 出願人 000004112 株式会社ニコン 東京都千代田区神田駿河台四丁目6番地</p> <p>(74) 代理人 100098165 弁理士 大森 聡</p> <p>(72) 発明者 劉 志強 東京都千代田区有楽町一丁目12番1号 株式会社ニコン内</p> <p>Fターム(参考) 2F065 AA04 AA07 BB02 CC20 DD03 DD04 FF48 FF51 GG05 GG06 LL17 LL42 LL46 LL59 PP04 PP12</p>
--	--

最終頁に続く

(54) 【発明の名称】 エンコーダ装置、移動量計測方法、光学装置、並びに露光方法及び装置

(57) 【要約】

第1部材に対する第2部材の相対移動量を計測するエンコーダであって、第1部材に設けられた回折格子と、計測光を回折格子の格子パターン面に概ね垂直に入射させる入射用光学部材と、第2部材に設けられて回折格子から発生する回折光を反射する第1反射部材と、回折光の方向を変更する第1方向変更部材と、回折格子から回折光によって発生する再回折光と他の回折光又は参照光との干渉光を検出する第1光電検出器と、第1光電検出器の検出信号を用いて前記第2部材の相対移動量を求める計測部とを備える。エンコーダは、回折格子を用いて計測する際に、格子パターン面の高さ変化に対する干渉光の信号強度の低下を抑制する。



## 【特許請求の範囲】

## 【請求項 1】

第 1 部材に対して少なくとも第 1 方向に相対移動する第 2 部材の相対移動量を計測するエンコーダ装置であって、

前記第 1 部材及び前記第 2 部材の一方の部材に設けられ、少なくとも前記第 1 方向を周期方向とする格子パターンを有する反射型の回折格子と、

計測光を発生する光源部と、

前記計測光を前記回折格子の格子パターン面に概ね垂直に入射させる入射用光学部材と

、  
前記第 1 部材及び前記第 2 部材の他方の部材に設けられるとともに、前記回折格子から前記計測光によって前記第 1 方向に関して発生する第 1 回折光を、3 つの反射面を介して反射する第 1 反射部材と、

前記回折格子と前記第 1 反射部材との間に配置されて、前記第 1 回折光が前記回折格子に入射するときの入射角が前記第 1 回折光の回折角よりも小さくなるように前記第 1 回折光の方向を変更する第 1 方向変更部材と、

前記回折格子から前記第 1 回折光によって発生する再回折光と他の回折光又は参照光との干渉光を検出する第 1 光電検出器と、

前記第 1 光電検出器の検出信号を用いて前記第 2 部材の相対移動量を求める計測部と、を備えるエンコーダ装置。

## 【請求項 2】

前記第 1 反射部材は入射面を有し、

前記入射面は、前記入射面に入射する前記第 1 回折光の光路に概ね垂直に設けられている請求項 1 に記載のエンコーダ装置。

## 【請求項 3】

前記第 1 方向変更部材は、前記第 1 回折光が前記回折格子に概ね垂直に入射されるように、前記第 1 回折光の方向を変更する請求項 1 に記載のエンコーダ装置。

## 【請求項 4】

前記第 1 方向変更部材は、入射面及び射出面を持つプリズムである請求項 1 に記載のエンコーダ装置。

## 【請求項 5】

前記プリズムの入射光に対する振れ角は前記第 1 回折光の回折角と実質的に同じであり、前記プリズムの入射光の振れ角の入射角に対する変化率は、前記回折格子による前記第 1 回折光の回折角の入射角に対する変化を低減するように定められている請求項 4 に記載のエンコーダ装置。

## 【請求項 6】

前記プリズムは、前記再回折光を前記光電検出器に導く請求項 4 に記載のエンコーダ装置。

## 【請求項 7】

前記第 1 方向変更部材は、前記第 1 方向に関して前記反射型の回折格子と同じ周期を持つ反射型でブレード型の 1 次元回折格子である請求項 1 に記載のエンコーダ装置。

## 【請求項 8】

前記第 1 方向変更部材は、前記第 1 回折光の光路上であって、前記第 1 反射部材の下流側に設けられている請求項 1 に記載のエンコーダ装置。

## 【請求項 9】

前記第 1 方向変更部材は、前記第 1 回折光の光路上であって、前記第 1 反射部材の上流側に設けられている請求項 1 に記載のエンコーダ装置。

## 【請求項 10】

前記他方の部材に設けられるとともに、前記回折格子から前記計測光によって前記第 1 方向に関して前記第 1 回折光と対称に発生する第 2 回折光を、3 つの反射面を介して反射する第 2 反射部材と、

10

20

30

40

50

前記回折格子と前記第 2 反射部材との間に配置されて、前記第 2 回折光が前記回折格子に入射するときの入射角が前記第 2 回折光の回折角よりも小さくなるように前記第 2 回折光の方向を変更する第 2 方向変更部材と、

前記回折格子から前記第 2 回折光によって発生する再回折光と他の回折光又は参照光との干渉光を検出する第 2 光電検出器と、を備え、

前記計測部は、前記第 1 及び第 2 光電検出器の検出信号を用いて前記第 2 部材の相対移動量を求める請求項 1 に記載のエンコーダ装置。

【請求項 1 1】

前記回折格子は、前記第 1 方向及びこの第 1 方向に直交する第 2 方向を周期方向とする 2 次元の反射型の回折格子であり、

前記他方の部材に設けられるとともに、前記回折格子から前記計測光によって前記第 2 方向に関して対称に発生する第 3 及び第 4 回折光を、それぞれ 3 つの反射面を介して反射する第 3 及び第 4 反射部材と、

前記回折格子と前記第 3 及び第 4 反射部材との間に配置されて、それぞれ前記第 3 及び第 4 回折光が前記回折格子に入射するときの入射角が前記第 3 及び第 4 回折光の回折角よりも小さくなるように前記第 3 及び第 4 回折光の方向を変更する第 3 及び第 4 方向変更部材と、

前記回折格子から前記第 3 及び第 4 回折光によって発生する再回折光と他の回折光又は参照光との干渉光を検出する第 3 及び第 4 光電検出器と、を備え、

前記計測部は、前記第 1 から第 4 光電検出器の検出信号を用いて前記第 2 部材の相対移動量を求める請求項 1 0 に記載のエンコーダ装置。

【請求項 1 2】

前記第 1 から第 4 反射部材はそれぞれコーナーキューブであり、

前記 4 つのコーナーキューブの表面は前記回折格子の格子パターン面にほぼ平行である請求項 1 1 に記載のエンコーダ装置。

【請求項 1 3】

前記光源部は、前記計測光とこの計測光と可干渉的な参照光とを出力する光源と、前記参照光を第 1 から第 4 参照光に分岐する分岐光学系とを有し、

前記第 1 から第 4 光電検出器はそれぞれ前記第 1 から第 4 回折光と前記第 1 から第 4 参照光との干渉光を検出する請求項 1 1 に記載のエンコーダ装置。

【請求項 1 4】

前記他の回折光又は前記参照光は、前記計測光とは周波数の異なる光である請求項 1 に記載のエンコーダ装置。

【請求項 1 5】

第 1 部材に対して少なくとも第 1 方向に相対移動する第 2 部材の相対移動量を計測する移動量計測方法であって、

前記第 1 部材及び前記第 2 部材の一方の部材に設けられ、少なくとも前記第 1 方向を周期方向とする格子パターンを有する反射型の回折格子の格子パターン面に、計測光を、概ね垂直に入射することと、

前記回折格子から、前記第 1 方向に関して発生する第 1 回折光を、3 つの反射面を介して反射することと、

前記発生した第 1 回折光が、前記回折格子に入射するときの入射角が、前記計測光により発生した前記第 1 回折光の回折角よりも小さくなるように、前記第 1 回折光の方向を変更することと、

前記回折格子から前記第 1 回折光によって発生する再回折光と他の回折光又は参照光との干渉光を検出することと、

前記干渉光の検出に基いて、前記第 2 部材の相対移動量を求めることとを含む移動量計測方法。

【請求項 1 6】

前記 3 つの反射面の入射側または射出側に配置した光学部材により、前記第 1 回折光が

10

20

30

40

50

前記回折格子に概ね垂直に入射されるように、前記第 1 回折光の方向を変更する請求項 15 に記載の移動量計測方法。

【請求項 17】

請求項 1 に記載のエンコーダ装置と、  
前記エンコーダ装置の計測結果に基づいて対象物を移動する移動装置と、  
前記対象物用の光学系と、を備える光学装置。

【請求項 18】

パターンを被露光体に露光する露光装置であって、  
フレームと、  
前記被露光体を支持するとともに前記フレームに対して少なくとも第 1 方向に相対移動可能なステージと、  
前記第 1 方向への前記ステージの相対移動量を計測するための請求項 1 に記載のエンコーダ装置と、を備える露光装置。 10

【請求項 19】

前記ステージは、前記被露光体の周囲にプレートを保持し、  
前記回折格子は、前記プレートに形成されている請求項 18 に記載の露光装置。

【請求項 20】

パターンを被露光体に露光する露光方法であって、  
前記被露光体をステージにより支持することと、  
前記ステージのフレームに対する相対移動量を請求項 15 に記載の移動量計測方法を用いて計測することと、  
前記被露光体を露光することと、を含む露光方法。 20

【請求項 21】

リソグラフィ工程を含むデバイス製造方法であって、  
前記リソグラフィ工程で、請求項 18 に記載の露光装置を用いて物体を露光するデバイス製造方法。

【発明の詳細な説明】

【技術分野】

【0001】

本発明は、相対移動する部材間の相対移動量を計測するエンコーダ装置及び移動量計測方法、このエンコーダ装置を備えた光学装置及び露光装置、その移動量計測方法を用いた露光方法、及びその露光装置又は露光方法を用いたデバイス製造方法に関する。 30

【背景技術】

【0002】

半導体素子等の電子デバイス（マイクロデバイス）を生産するためのフォトリソグラフィ工程で用いられる、いわゆるステッパー又はスキャニングステッパーなどの露光装置においては、従来より、露光対象の基板を移動するステージの位置計測はレーザ干渉計によって行われていた。ところが、レーザ干渉計では、計測用ビームの光路が長く、かつ変化するため、その光路上の雰囲気温度揺らぎに起因する計測値の短期的な変動が無視できなくなりつつある。 40

【0003】

そこで、例えばステージに固定された回折格子にレーザ光よりなる計測光を照射し、回折格子から発生する回折光と他の回折光又は参照光との干渉光を光電変換して得られる検出信号から、その回折格子が設けられた部材（ステージ等）の相対移動量を計測する、いわゆるエンコーダ装置（干渉型エンコーダ）も使用されつつある（例えば特許文献 1 参照）。このエンコーダ装置は、レーザ干渉計に比べて計測値の短期的安定性に優れるとともに、レーザ干渉計に近い分解能が得られるようになってきている。

【先行技術文献】

【特許文献】

【0004】

【特許文献1】国際公開第2008/029757号パンフレット

【発明の概要】

【発明が解決しようとする課題】

【0005】

従来のエンコーダ装置は、回折格子から発生する回折光を平面ミラー等で反射しているため、回折格子の格子パターン面の高さが変化すると、その回折光が他の回折光又は参照光に対して相対的にシフトして、干渉光の信号強度が低下する恐れがあった。

本発明の態様は、このような課題に鑑み、回折格子を用いて相対移動量を計測する際に、格子パターン面の高さ変化が生じたときの干渉光の信号強度の低下を抑制することを目的とする。

【課題を解決するための手段】

【0006】

本発明の第1の態様によれば、第1部材に対して少なくとも第1方向に相対移動する第2部材の相対移動量を計測するエンコーダ装置が提供される。このエンコーダ装置は、その第1部材及びその第2部材の一方の部材に設けられ、少なくともその第1方向を周期方向とする格子パターンを有する反射型の回折格子と、計測光を発生する光源部と、その計測光をその回折格子の格子パターン面に概ね垂直に入射させる入射用光学部材と、その第1部材及びその第2部材の他方の部材に設けられるとともに、その回折格子からその計測光によってその第1方向に関して発生する第1回折光を、3つの反射面を介して反射する第1反射部材と、その回折格子とその第1反射部材との間に配置されて、その第1回折光がその回折格子に入射するときの入射角がその第1回折光の回折角よりも小さくなるようにその第1回折光の方向を変更する第1方向変更部材と、その回折格子からその第1回折光によって発生する再回折光と他の回折光又は参照光との干渉光を検出する第1光電検出器と、その第1光電検出器の検出信号を用いてその第2部材の相対移動量を求める計測部と、を備えるものである。

【0007】

また、第2の態様によれば、第1部材に対して少なくとも第1方向に相対移動する第2部材の相対移動量を計測する移動量計測方法が提供される。この移動量計測方法は、その第1部材及びその第2部材の一方の部材に設けられ、少なくともその第1方向を周期方向とする格子パターンを有する反射型の回折格子の格子パターン面に、計測光を、概ね垂直に入射することと、その回折格子から、その第1方向に関して発生する第1回折光を、3つの反射面を介して反射することと、その発生した第1回折光が、その回折格子に入射するときの入射角が、その第1回折光の回折角よりも小さくなるように、その第1回折光の方向を変更することと、その回折格子からその第1回折光によって発生する再回折光と他の回折光又は参照光との干渉光を検出することと、その干渉光の検出に基いて、その第2部材の相対移動量を求めることと、を含むものである。

【0008】

また、第3の態様によれば、その第1の態様のエンコーダ装置と、そのエンコーダ装置の計測結果に基づいて対象物を移動する移動装置と、その対象物用の光学系と、を備える光学装置が提供される。

また、第4の態様によれば、パターンを被露光体に露光する露光装置が提供される。この露光装置は、フレームと、その被露光体を支持するとともにそのフレームに対して少なくとも第1方向に相対移動可能なステージと、その第1方向へのステージの相対移動量を計測するためのその第1の態様のエンコーダ装置と、を備えるものである。

【0009】

また、第5の態様によれば、パターンを被露光体に露光する露光方法が提供される。この露光方法は、被露光体をステージにより支持することと、そのステージのフレームに対する相対移動量を第2の態様の移動量計測方法を用いて計測することと、その被露光体を露光することと、を含むものである。

また、第6の様態によれば、リソグラフィ工程を含み、そのリソグラフィ工程でその第

10

20

30

40

50

4の態様の露光装置又はその第5の態様の露光方法を用いて物体を露光するデバイス製造方法が提供される。

【発明の効果】

【0010】

本発明の態様によれば、その第1回折光がその回折格子に入射するときの入射角が回折角よりも小さくなるようにその第1回折光の方向を変更する第1方向変更部材を備えているため、その第1部材とその第2部材との相対位置が変化して、その第1反射部材に対するその回折格子の格子パターン面の相対的な高さが変化しても、その第1回折光によるその回折格子からの再回折光の光路の変動が低減されて、その再回折光と他の光束との相対的なシフト量が低減される。従って、回折格子の格子パターン面の高さの変化に対して干渉光の信号強度の低下を抑制でき、計測精度を高く維持できる。

10

【図面の簡単な説明】

【0011】

【図1】第1の実施形態に係るエンコーダを示す斜視図である。

【図2】(A)は図1のエンコーダにおけるX方向の±1次回折光の光路を示す図、(B)はY方向の±1次回折光の光路を示す図である。

【図3】(A)は図1のエンコーダにおいて格子パターン面の相対的な高さが変化したときの回折光の光路の変化を示す図、(B)は格子パターン面が相対的に傾斜したときの回折光の光路の変化を示す図である。

【図4】第1変形例に係るエンコーダの一部を示す図である。

20

【図5】(A)は第2変形例に係るエンコーダの一部を示す図、(B)は第2変形例において格子パターン面が相対的に傾斜したときの回折光の光路の変化を示す図である。

【図6】第2の実施形態に係る露光装置の概略構成を示す図である。

【図7】図6のウエハステージに設けられた回折格子及び複数の検出ヘッドの配置の一例を示す平面図である。

【図8】図6の露光装置の制御系を示すブロック図である。

【図9】計測方法及び露光方法の一例を示すフローチャートである。

【図10】電子デバイスの製造方法の一例を示すフローチャートである。

【発明を実施するための形態】

【0012】

30

[第1の実施形態]

本発明の第1の実施形態につき図1～図3(B)を参照して説明する。図1は本実施形態に係る3軸のエンコーダ10の要部を示す斜視図である。図1において、一例として、第1部材6に対して第2部材7は3次元的に相対移動可能に配置され、第2部材7の互いに直交する相対移動可能な2つの方向に平行にX軸及びY軸を取り、X軸及びY軸によって規定される平面(XY面)に直交する相対移動方向に沿ってZ軸を取って説明する。また、X軸、Y軸、及びZ軸に平行な軸の回りの角度をそれぞれx方向、y方向、及びz方向の角度とも呼ぶこととする。

【0013】

図1において、エンコーダ10は、第1部材6の上面に固定された、XY面にほぼ平行な平板状の2次元の回折格子12と、第2部材7に固定されて回折格子12に計測光MLを照射するX軸、Y軸、及びZ軸(3軸)の検出ヘッド14と、検出ヘッド14に計測用のレーザ光を供給するレーザ光源16と、検出ヘッド14から出力される検出信号を処理して第1部材6に対する第2部材7のX方向、Y方向、及びZ方向の相対移動量を求める計測演算部42と、を有する。

40

【0014】

回折格子12のXY面にほぼ平行な格子パターン面12bには、X方向及びY方向に所定の周期(ピッチ)pを持ち、位相型でかつ反射型の2次元の格子パターン12aが形成されている。格子パターン12aのX方向、Y方向の周期pは、一例として100nm～4μm程度(例えば1μm周期)である。なお、格子パターン12aのX方向、Y方向の

50

周期が互いに異なってもよい。格子パターン12aは、例えばホログラム（例えば感光性樹脂に干渉縞を焼き付けたもの）として、又はガラス板等に機械的に溝等を形成して反射膜を被着することで作製可能である。さらに、格子パターン面12bは、保護用の平板ガラスで覆われていてもよい。

#### 【0015】

レーザ光源16は、例えばHe-Neレーザ又は半導体レーザ等よりなり、一例として偏光方向が互いに直交するとともに互いに周波数が異なる第1及び第2の直線偏光のレーザ光よりなる2周波ヘテロダイン光を射出する。それらのレーザ光は互いに可干渉（偏光方向を平行にした場合）であり、それらの平均波長をとする。レーザ光源16は、それらのレーザ光から分岐した2つの光束の干渉光を光電変換して得られる基準周波数の信号（基準信号SE）を計測演算部42に供給する。なお、ホモダイン干渉方式も使用可能である。

10

#### 【0016】

検出ヘッド14は、レーザ光源16から供給されたヘテロダイン光を互いに周波数が異なるP偏光の計測光ML及びS偏光の参照光RLに分割する偏光ビームスプリッター（以下、PBSという。）18と、参照光RLからX軸の第2参照光RX2を分岐するビームスプリッター20Aと、ビームスプリッター20Aで反射された参照光からY軸の第2及び第1参照光RY2, RY1を順次分岐するビームスプリッター20B, 20Cと、ビームスプリッター20Cを透過したX軸の第1参照光RX1を-X方向に向けるミラー22A, 22B, 22Cと、X軸の第2参照光RX2を+X方向に向けるミラー22D, 22Eとを有する。計測光ML及び参照光RLは例えば直径が0.5~数mm程度の円形の断面を有する。また、検出ヘッド14は、X軸の第1及び第2参照光RX1, RX2と後述のX軸の+1次回折光EX1及び+1次とは異なる次数である-1次の回折光EX2とをそれぞれ同軸に合成するPBS（偏光ビームスプリッター）28A, 28Bと、PBS28A, 28Bで同軸に合成された干渉光が通過する偏光板30A, 30Bと、偏光板30A, 30Bを通過した干渉光を検出するフォトダイオード等のX軸の光電センサ40XA, 40XBとを有する。さらに、検出ヘッド14は、Y軸の第1及び第2参照光RY1, RY2と後述のY軸の+1次回折光EY1及び-1次回折光EY2とを同軸に合成するPBS（偏光ビームスプリッター）28C, 28Dと、PBS28C, 28Dで同軸に合成された干渉光が通過する偏光板30C, 30Dと、偏光板30C, 30Dを通過した干渉光を検出するY軸の光電センサ40YA, 40YB（光電センサ40XAと同じ構成）とを有する。

20

30

#### 【0017】

また、検出ヘッド14は、PBS18を透過したP偏光の計測光MLを反射して回折格子12の格子パターン面12b（格子パターン12a）に概ね垂直に（概ねZ軸に平行に）入射させるミラー22Fを有する。概ね垂直に入射させるとは、計測光MLを格子パターン面12bに垂直に入射させる場合の外に、0次光（正反射光）の影響を軽減するために、計測光MLをZ軸に平行な軸に対してX方向（y方向）及び/又はY方向（x方向）に例えば0.5~1.5°程度傾斜させて格子パターン面12bに入射させる場合も含まれることを意味している。PBS18, 28A~28D、ビームスプリッター20A~20C、ミラー22A~22F、及び光電センサ40XA~40YBは、第2部材7に固定された支持部材（不図示）によって支持されている。

40

#### 【0018】

本実施形態において、概ね垂直に回折格子12の格子パターン面12bに入射する計測光MLによって、X方向に対称に±1次回折光DX1, DX2が発生するとともに、Y方向に対称に±1次回折光DY1, DY2が発生する。そして、検出ヘッド14は、+1次回折光DX1の光路をほぼ+Z平行に向けるX軸の第1の楔型プリズム26Aと、楔型プリズム26Aを通過した回折光DX1を回折格子12の格子パターン面12bに向けて概ね垂直に反射するX軸の第1のコーナーキューブ24Aと、-1次回折光DX2の光路をほぼ+Z平行に向けるX軸の第2の楔型プリズム26Bと、楔型プリズム26Bを通過し

50

た回折光  $D X 2$  を回折格子 1 2 の格子パターン面 1 2 b に向けて概ね垂直に反射する  $X$  軸の第 2 のコーナーキューブ 2 4 B と、後述のミラー 2 3 A , 2 3 B とを有する。楔型プリズム 2 6 A , 2 6 B は、回折格子 1 2 に入射する計測光  $M L$  に関して対称に配置された互いに同じ形状で入射面及び射出面 ( 2 面 ) を持つプリズムである。コーナーキューブ 2 4 A , 2 4 B は、その計測光  $M L$  に関して対称に配置された互いに同じ形状で、入射面及び互いに直交する 3 つの反射面を持つ光学部材であり、コーナーキューブ 2 4 A , 2 4 B は、その入射面が  $X Y$  面に平行になるように ( 入射する  $\pm 1$  次回折光  $D X 1$  ,  $D X 2$  の光路に概ね垂直になるように ) 互いに平行に配置されている。

#### 【 0 0 1 9 】

この場合、図 2 ( A ) に示すように、コーナーキューブ 2 4 A , 2 4 B で反射された回折光  $D X 1$  ,  $D X 2$  によって回折格子 1 2 から  $X$  方向に計測光  $M L$  に関して対称に + 1 次回折光  $E X 1$  ( 再回折光 ) 及び - 1 次回折光  $E X 2$  ( 再回折光 ) が発生し、発生した回折光  $E X 1$  ,  $E X 2$  はそれぞれ楔型プリズム 2 6 A , 2 6 B によって +  $Z$  方向に光路が変更された後、図 1 のミラー 2 3 A , 2 3 B を介して  $P B S$  2 8 A , 2 8 B で参照光  $R X 1$  ,  $R X 2$  と同軸に合成される。合成された干渉光はそれぞれ光電センサ 4 0 X A , 4 0 X B で受光される。

10

#### 【 0 0 2 0 】

図 1 において、検出ヘッド 1 4 は、 $\pm 1$  次回折光  $D Y 1$  ,  $D Y 2$  の光路をほぼ +  $Z$  平行に向ける  $Y$  軸の第 1 及び第 2 の楔型プリズム 2 6 C , 2 6 D と、楔型プリズム 2 6 C , 2 6 D を通過した回折光  $D Y 1$  ,  $D Y 2$  を回折格子 1 2 の格子パターン面 1 2 b に向けて概ね垂直に反射する  $Y$  軸の第 1 及び第 2 のコーナーキューブ 2 4 C , 2 4 D と、後述のミラー 2 3 C , 2 3 D とを有する。 $Y$  軸の楔型プリズム 2 6 C , 2 6 D は、 $X$  軸の楔型プリズム 2 6 A , 2 6 B を回折格子 1 2 に入射する計測光  $M L$  の回りに  $90^\circ$  回転した形状及び配置であり、 $Y$  軸のコーナーキューブ 2 4 C , 2 4 D は、 $X$  軸のコーナーキューブ 2 4 A , 2 4 B をその計測光  $M L$  の回りに  $90^\circ$  回転した形状及び配置である。

20

#### 【 0 0 2 1 】

この場合、図 2 ( B ) に示すように、コーナーキューブ 2 4 C , 2 4 D で反射された回折光  $D Y 1$  ,  $D Y 2$  によって回折格子 1 2 から  $Y$  方向に計測光  $M L$  に関して対称に + 1 次回折光  $E Y 1$  ( 再回折光 ) 及び - 1 次回折光  $E Y 2$  ( 再回折光 ) が発生し、発生した回折光  $E Y 1$  ,  $E Y 2$  はそれぞれ楔型プリズム 2 6 C , 2 6 D によって +  $Z$  方向に光路が変更された後、図 1 のミラー 2 3 C , 2 3 D を介して  $P B S$  2 8 C , 2 8 D で参照光  $R Y 1$  ,  $R Y 2$  と同軸に合成される。合成された干渉光はそれぞれ光電センサ 4 0 Y A , 4 0 Y B で受光される。本実施形態では、楔型プリズム 2 6 A ~ 2 6 D は回折光  $E X 1$  ,  $E X 2$  ,  $E Y 1$  ,  $E Y 2$  の光路を変更するための光学部材としても兼用されているため、検出ヘッド 1 4 の構成が簡素である。なお、回折光  $E X 1$  ~  $E Y 2$  の光路を変更するために、楔型プリズム 2 6 A ~ 2 6 D とは別の部材 ( 例えば別の小型のプリズム又はミラー ) を使用してもよい。

30

#### 【 0 0 2 2 】

コーナーキューブ 2 4 A ~ 2 4 D、楔型プリズム 2 6 A ~ 2 6 D、及びミラー 2 3 A ~ 2 3 D も、第 2 部材 7 に固定された支持部材 ( 不図示 ) によって支持されている。本実施形態では、コーナーキューブ 2 4 A ~ 2 4 D は、入射面が  $X Y$  面に平行になるように ( 格子パターン面 1 2 b に平行になるように )、かつ回折格子 1 2 に入射する計測光  $M L$  の回りに  $90^\circ$  間隔で配置されているため、複雑な形状のコーナーキューブ 2 4 A ~ 2 4 D を容易に正確な位置関係で支持できる。なお、コーナーキューブ 2 4 A ~ 2 4 D の代わりに、3 つの互いに直交する反射面を持つ反射部材を組み合わせた反射部材 ( レトロリフレクター ) 等を使用してもよい。

40

#### 【 0 0 2 3 】

図 1 において、計測演算部 4 2 は、第 1 演算部 4 2 X、第 2 演算部 4 2 Y、及び第 3 演算部 4 2 T を有する。そして、 $X$  軸の光電センサ 4 0 X A は、 $X$  軸の回折光  $E X 1$  及び参照光  $R X 1$  よりなる干渉光の検出信号 ( 光電変換信号 )  $S A$  を第 1 演算部 4 2 X に供給し

50



、X軸の光電センサ40XBは、X軸の回折光EX2及び参照光RX2よりなる干渉光の検出信号SBを第1演算部42Xに供給する。また、Y軸の光電センサ40YAは、Y軸の回折光EY1及び参照光RY1よりなる干渉光の検出信号SCを第2演算部42Yに供給し、Y軸の光電センサ40YBは、Y軸の回折光EY2及び参照光RY2よりなる干渉光の検出信号SDを第2演算部42Yに供給する。第1演算部42X及び第2演算部42Yには、レーザ光源16から基準周波数の信号(基準信号SE)も供給されている。

#### 【0024】

ここで、第1部材6と第2部材7とのX方向、Y方向、Z方向の相対移動量をX、Y、Zとして、第1演算部42X及び第2演算部42Yで求められるZ方向の相対移動量をそれぞれZX、ZYとする。このとき、一例として、第1演算部42Xは、検出信号SA及び基準信号SEから、既知の係数a、bを用いてX方向及びZ方向の第1の相対移動量( $a \cdot X + b \cdot ZX$ )を求め、検出信号SB及び基準信号SEから、X方向及びZ方向の第2の相対移動量( $-a \cdot X + b \cdot ZX$ )を求め、その第1及び第2の相対移動量からX方向の相対移動量(X)及びZ方向の相対移動量(ZX)を求め、求めた結果を第3演算部42Tに供給する。第2演算部42Yは、検出信号SC及び基準信号SEから、Y方向及びZ方向の第1の相対移動量( $a \cdot Y + b \cdot ZY$ )を求め、検出信号SD及び基準信号SEから、Y方向及びZ方向の第2の相対移動量( $-a \cdot Y + b \cdot ZY$ )を求め、その第1及び第2の相対移動量からY方向の相対移動量(Y)及びZ方向の相対移動量(ZY)を求め、求めた結果を第3演算部42Tに供給する。

10

#### 【0025】

第3演算部42Tは、演算部42X、42Yから供給される相対移動量(X)及び(Y)を所定のオフセットで補正した値を第1部材6と第2部材7とのX方向、Y方向の相対移動量として出力する。また、第3演算部42Tは、一例として、演算部42X、42Yから供給されるZ方向の相対移動量(ZX)及び(ZY)の平均値( $= (ZX + ZY) / 2$ )を所定のオフセットで補正した値を第1部材6と第2部材7とのZ方向の相対移動量として出力する。X方向、Y方向、Z方向の相対移動量の検出分解能は例えば0.5~0.1nm程度である。エンコーダ10では、計測光ML等の光路が短いため、その光路上の気体の温度揺らぎに起因する計測値の短期的な変動を低減できる。さらに、最終的に、再回折光である+1次回折光EX1、EY1及び-1次回折光EX2、EY2と、それらに対応する参照光RX1~RY2との干渉光を検出しているため、相対移動量の検出分解能(検出精度)を1/2に向上(微細化)できる。また、±1次回折光を用いることによって、第1部材6と第2部材7とのz方向の相対回転角による計測誤差を低減できる。

20

30

#### 【0026】

次に、本実施形態の検出ヘッド14の回折光の光路につき詳細に説明する。

図2(A)において、計測光MLが回折格子12の格子パターン12aに垂直に入射する(計測光MLがZ軸に平行に入射する)とき、計測光MLによるX方向の+1次回折光DX1の回折角 $\alpha$ は、格子パターン12aの周期p及び計測光MLの波長 $\lambda$ を用いて次の関係を満たす。このとき、計測光MLによるX方向の-1次回折光DX2の回折角は $-\alpha$ となる。

#### 【0027】

$$p \cdot \sin(\alpha) = \lambda \quad \dots (1)$$

一例として、周期pを1000nm(1 $\mu$ m)、計測光MLの波長 $\lambda$ を633nmとすると、回折角 $\alpha$ はほぼ39°となる。

また、回折光DX1は、楔型プリズム26Aによって光路が計測光ML(ここではZ軸に平行)に平行になるように折り曲げられてコーナーキューブ24Aに入射する。従って、楔型プリズム26Aの入射光に対する振れ角 $\theta$ とすると、次のように振れ角 $\theta$ はその回折角 $\alpha$ と同じであることが好ましい。

#### 【0028】

$$\theta = \alpha = \arcsin(\lambda / p) \quad \dots (2)$$

言い替えると、楔型プリズム26Aの頂角 $\theta$ 、屈折率ng、及び回折光DX1の楔型プ

40

50

リズム 26A に対する入射角  $i$  ( 楔型プリズム 26A の回転角  $\gamma$  ) は、振れ角  $\theta$  が回折角  $\alpha$  となるように定められることが好ましい。さらに、本実施形態では、振れ角  $\theta$  の入射角  $i$  に関する変化率 (  $d\theta/di$  ) は、次のように  $\cos(\alpha)$  に設定されることが好ましい。

【0029】

$$d\theta/di = \cos(\alpha) = \cos\{\arcsin(\theta/p)\} \dots (3)$$

この式 (3) の条件は、楔型プリズム 26A の振れ角  $\theta$  の変化率 (  $d\theta/di$  ) は、回折格子 12 に対する計測光 ML の入射角が 0 から変化したときの回折光 DX1 の回折角の変化率を、楔型プリズム 26A で相殺することを意味している ( 詳細後述 ) 。

計測光 ML が格子パターン 12a に垂直に ( Z 軸に平行に ) 入射する場合、楔型プリズム 26A からコーナーキューブ 24A に向かう回折光 DX1 は Z 軸に平行であり、コーナーキューブ 24A で反射される回折光 DX1 は計測光 ML が入射した位置から + X 方向にずれた位置で格子パターン 12a に垂直に入射する。そして、回折光 DX1 によって回折格子 12 から発生する + 1 次回折光 EX1 の回折角は式 (1) の  $\alpha$  と同じであり、回折光 EX1 は楔型プリズム 26A によって光路を Z 軸に平行に折り曲げられて ( ミラー 23A を介して ) PBS 28A に向かう。このとき、計測光 ML による回折格子 12 からの - 1 次回折光 DX2 は、回折光 DX1 と対称に楔型プリズム 26B 及びコーナーキューブ 24B を介して計測光 ML が入射した位置から - X 方向にずれた位置で格子パターン 12a に垂直に入射する。そして、回折光 DX2 によって回折格子 12 から発生する - 1 次回折光 EX2 は、楔型プリズム 26B によって光路を Z 軸に平行に折り曲げられて ( ミラー 23B を介して ) PBS 28B に向かう。

【0030】

また、図 2 ( B ) において、計測光 ML が回折格子 12 の格子パターン 12a に垂直に入射するとき、計測光 ML による Y 方向の + 1 次回折光 DY1 の回折角  $\beta$  は、式 (1) の X 方向の回折角  $\alpha$  と同じである。そして、回折光 DY1 によって楔型プリズム 26C 及びコーナーキューブ 24C を介して回折格子 12 から発生する + 1 次回折光 EY1、及び計測光 ML による Y 方向の - 1 次回折光 DY2 によって回折格子 12 から発生する - 1 次回折光 EY2 は、それぞれ楔型プリズム 26C、26D によって光路を Z 軸に平行に折り曲げられて PBS 28C、28D に向かう。

【0031】

そして、図 2 ( A ) の配置において、図 3 ( A ) に示すように、検出ヘッド 14 に対して回折格子 12 の格子パターン面 12b の Z 方向の相対位置が位置 B1 まで Z だけ変化した場合を想定する。このとき、計測光 ML による + 1 次回折光 DX1 は、光路が位置 B2 に平行にシフトしてコーナーキューブ 24A に入射するが、コーナーキューブ 24A では入射光に対して射出光の光路はコーナーキューブ 24A の X 方向の中心に関して対称にシフトする。このため、コーナーキューブ 24A で反射された回折光 DX1 は、格子パターン面 12b の Z 方向の相対位置が変化していないときの + 1 次回折光 EX1 の光路と位置 B1 まで変化した格子パターン面 12b とが交差する位置で回折格子 12 に入射する。従って、格子パターン面 12b が位置 B1 まで変化していても、回折光 DX1 によって回折格子 12 から発生する + 1 次回折光 EX1 の光路 B3 は、格子パターン面 12b の Z 方向の相対位置が変化していないときの光路と同じである。このため、回折光 EX1 と参照光 RX1 とを PBS 28A で同軸に合成して干渉光を生成したとき、回折光 EX1 と参照光 RX1 との相対的な横ずれ量がないため、その干渉光を光電変換したときに得られる検出信号 SA のうちの交流信号 ( ビート信号又は信号成分 ) の割合が低下することがない。

【0032】

これは、X 軸の - 1 次回折光 DX2 及び Y 軸の  $\pm$  1 次回折光 DY1、DY2 でも同様であり、格子パターン面 12b の Z 方向の相対位置が変化しても、図 1 の検出信号 SB ~ SD のうちのビート信号の割合は低下しない。従って、検出信号 SA ~ SD を用いて高い SN 比で高精度に第 1 部材 6 と第 2 部材 7 との相対移動量を計測できる。

次に、図 2 ( A ) の配置において、図 3 ( B ) に示すように、検出ヘッド 14 に対して

回折格子 1 2 の格子パターン面 1 2 b が Y 軸に平行な軸の回りに角度  $\theta$  だけ反時計回りに変化した場合を想定する。このとき、計測光 M L の格子パターン面 1 2 b に対する入射角は  $\theta$  であり、+ 1 次回折光 D X 1 の回折角を  $(\theta + \alpha)$  とすると、以下の関係が成立する。

【 0 0 3 3 】

$$\sin(\theta + \alpha) - \sin \theta = \lambda / p \dots (4)$$

ここで、 $\alpha$  及び  $\theta$  が微量であるとする、 $\sin(\theta)$  の微分は  $\cos(\theta)$  であるため、式 (4) は次のようになる。

$$\sin(\theta) + \cos(\theta) \cdot \alpha - \lambda / p = 0 \dots (5)$$

式 (5) において、式 (1) より  $\sin(\theta)$  が  $\lambda / p$  であることを考慮すると、次式が得られる。

10

【 0 0 3 4 】

$$\alpha = \lambda / (p \cos(\theta)) \dots (6)$$

また、格子パターン面 1 2 b が角度  $\theta$  だけ傾斜したときの回折格子 1 2 からの + 1 次回折光 D X 1 の光路 B 1 2 の角度の変化量  $\Delta \theta$  は、次のようになる。

$$\Delta \theta = \{ 1 + \lambda / (p \cos(\theta)) \} \alpha \dots (7)$$

また、楔型プリズム 2 6 A における振れ角  $\theta$  の入射角  $i$  に関する変化率  $(d\theta / di)$  は、式 (3) で示したように  $\cos(\theta)$  であるため、楔型プリズム 2 6 A を通過した回折光 D X 1 の光路 B 1 3 の角度の変化量  $\Delta \theta$  は、次のようになる。

20

【 0 0 3 5 】

$$1 = \lambda / p \cdot \cos(\theta) = \{ \cos(\theta) + 1 \} \alpha \dots (8)$$

そして、格子パターン面 1 2 b は角度  $\theta$  だけ傾斜しているため、コーナーキューブ 2 4 A から格子パターン面 1 2 b に入射する回折光 D X 1 の入射角  $\theta$  は次のようになる。

$$\theta = \alpha \cdot \cos(\theta) \dots (9)$$

回折光 D X 1 が再び回折格子 1 2 に入射角  $\theta$  で入射すると、回折光 D X 1 による回折格子 1 2 からの + 1 次回折光 E X 1 (再回折光) の回折角の変化量  $\Delta \theta$  は、式 (6) から次のようになる。

【 0 0 3 6 】

$$\Delta \theta = \alpha \dots (10)$$

これは、回折光 E X 1 の回折角の変化量  $\Delta \theta$  は格子パターン面 1 2 b の傾斜角  $\theta$  に等しいこと、すなわち回折光 E X 1 の光路 B 1 4 は、格子パターン面 1 2 b が傾斜する前の光路に平行であることを意味する。また、回折光 E X 1 の光路 B 1 4 の横シフトも生じていない。このため、回折光 E X 1 と参照光 R X 1 とを P B S 2 8 A で同軸に合成して干渉光を生成したとき、回折光 E X 1 と参照光 R X 1 との相対的な傾きのずれ及び相対的な横ずれ量がないため、その干渉光を光電変換したときに得られる検出信号 S A のうちの交流信号 (ビート信号又は信号成分) の割合が低下することがない。これは、X 軸の - 1 次回折光 E X 2 でも同様である。

30

【 0 0 3 7 】

また、回折格子 1 2 の格子パターン 1 2 b が X 軸に平行な軸の回りに傾斜した場合にも、同様に Y 軸の  $\pm 1$  次回折光 E Y 1, E Y 2 の光路の傾斜角のずれ及び横シフトは生じないため、図 1 の検出信号 S B ~ S D のうちのビート信号の割合は低下しない。従って、検出信号 S A ~ S D を用いて高い S N 比で高精度に第 1 部材 6 と第 2 部材 7 との相対移動量を計測できる。なお、回折格子 1 2 の格子パターン 1 2 b が X 軸 (又は Y 軸) に平行な軸の回りに傾斜した場合に、X 軸の検出信号 S A, S B (又は Y 軸の検出信号 S C, S D) に対する影響は実質的にない。

40

【 0 0 3 8 】

なお、以上の説明では回折格子 1 2 側が検出ヘッド 1 4 に対して傾斜するものとしたが、計測光 M L の回折格子 1 2 に対する入射角が 0 から X 方向及び Y 方向に微量変化した場合にも、同様に回折光 E X 1 ~ E Y 2 の光路の傾斜及び横シフトが生じないため、高い S N 比で高精度に第 1 部材 6 と第 2 部材 7 との相対移動量を計測できる。

50

本実施形態の効果等は以下の通りである。

【0039】

本実施形態のエンコーダ10は、第1部材6に対してX方向、Y方向、Z方向に3次元に相対移動する第2部材7の相対移動量を計測する3軸のエンコーダ装置である。そして、エンコーダ10は、第1部材6に設けられ、X方向及びY方向を周期方向とする2次元の格子パターン12aを有する反射型の回折格子12と、計測光ML及び参照光RX1を含むレーザ光を発生するレーザ光源16と、計測光MLを回折格子12の格子パターン面12bに概ね垂直に入射させるミラー22F（入射用光学部材）と、を備えている。さらに、エンコーダ10は、第2部材7に設けられるとともに、回折格子12から計測光MLによってX方向に関して回折角 $\alpha$ で発生する+1次回折光DX1（第1回折光）を反射するコーナーキューブ24A（第1反射部材）と、回折格子12とコーナーキューブ24Aとの間に配置されて、回折光DX1が回折格子12に入射するときの入射角が回折角 $\alpha$ よりもかなり小さい角度であるほぼ0になるように（回折格子12に概ね垂直に入射するように）回折光DX1の方向を変更する楔型プリズム26A（第1方向変更部材）と、回折格子12から回折光DX1によって発生する+1次回折光EX1（再回折光）と参照光RX1との干渉光を検出する光電センサ40XAと、光電センサ40XAの検出信号を用いて第2部材7の相対移動量を求める計測演算部42（計測部）と、を備えている。

10

【0040】

本実施形態によれば、楔型プリズム26Aによって、回折光DX1が回折格子12に入射するときの入射角はほぼ0になるため、第1部材6と第2部材7との相対位置が変化して、コーナーキューブ24A（検出ヘッド14）に対する回折格子12の格子パターン面12bの相対的な高さ（Z方向の位置）が変化しても、回折光DX1による回折格子12からの回折光EX1（再回折光）の光路の変動がほとんどなくなり、回折光EX1と参照光RX1との横方向の相対的なシフト量がほぼ0になる。従って、回折格子12の格子パターン面12bの高さの変化に対して干渉光のビート信号（位置情報を含む信号）の強度の低下がなくなり、第1部材6と第2部材7との相対移動量の計測精度を高く維持できる。また、仮に第1部材6と第2部材7とのX方向、Y方向の相対位置が固定されている場合には、光電センサ40XAの検出信号から第1部材6と第2部材7とのZ方向の相対移動量を計測できる。

20

【0041】

さらに、エンコーダ10は、回折格子12から計測光MLによってX方向に発生する+1次とは異なる次数である-1次の回折光DX2（第2回折光）を反射するコーナーキューブ24B（第2反射部材）と、回折光DX2が回折格子12に入射するときの入射角がほぼ0になるように回折光DX2の方向を変更する楔型プリズム26B（第2方向変更部材）と、回折格子12から回折光DX2によって発生する-1次回折光EX2（再回折光）と参照光RX2との干渉光を検出する光電センサ40XBと、を備えている。このため、光電センサ40XA、40XBの検出信号から、第1部材6と第2部材7とのX方向及びZ方向の相対移動量を高精度に計測できる。

30

【0042】

さらに、エンコーダ10は、回折格子12から計測光MLによってY方向に発生する $\pm$ 1次回折光DY1、DY2を反射するコーナーキューブ24C、24Dと、回折光DY1、DY2が回折格子12に入射するときの入射角がほぼ0になるように回折光DY1、DY2の方向を変更する楔型プリズム26C、26Dと、回折格子12から回折光DY1、DY2によって発生する $\pm$ 1次回折光EY1、EY2と参照光RY1、RY2との干渉光を検出する光電センサ40YA、40YBと、を備えている。このため、回折格子12の格子パターン面12bの相対的な高さが変化しても、光電センサ40YA、40YBの検出信号から、第1部材6と第2部材7とのY方向の相対移動量を高精度に計測できる。

40

【0043】

なお、楔型プリズム26A～26Dは、対応する回折光DX1～DY2が回折格子12に入射するときの入射角が回折角 $\alpha$ 、 $\beta$ よりも小さくなるように回折光DX1～DY

50

2の方向を変更するようにしてもよい。上記の実施形態では、楔型プリズム26A~26Dは、回折光DX1~DY2の進行方向を変更して、計測光MLの進行方向(Z軸方向)と平行もしくはほぼ平行としており、コーナーキューブ24A、24B(24C、24D)は、入射した回折光DX1、DX2(DY1、DY2)の進行方向を180°変更し、入射位置からX方向(Y方向)に所定距離だけずれた位置から出射している。したがって、コーナーキューブ24A~24Dから出射された回折光DX1~DY2の進行方向は、計測光MLの進行方向(Z軸方向)と平行もしくはほぼ平行である。ここで、コーナーキューブ24A~24Dから出射された回折光DX1~DY2の進行方向が、計測光MLの進行方向(Z軸方向)と完全に平行になると、回折格子12のZ方向変位やX軸、Y軸回りの傾斜が生じた場合であっても、回折格子12で回折された再回折光EX1~EY2の光路の、回折格子12のZ方向変位やX軸、Y軸回りの傾斜が生じる前の光路からの横シフト量をゼロとできるが、コーナーキューブ24A~24Dから出射された回折光DX1~DY2の進行方向が、計測光MLの進行方向(Z軸方向)と完全に平行ではなくても、回折格子12に入射する回折光DX1~DY2の入射角が、計測光MLの回折格子12への入射により発生した回折光DX1~DY2の回折角  $\alpha$ 、 $\beta$  よりも小さければ、上記の横シフト量を小さくすることが可能となる。よってこの場合でも、格子パターン面12bの相対的な高さ(Z方向の位置)の変化に対して回折光EX1~EY2と参照光RX1~RY2との横方向の相対的なシフト量が低減されるため、回折格子12の格子パターン面12bの高さの変化に対して干渉光のビート信号の強度の低下を抑制でき、第1部材6と第2部材7との相対移動量を高精度に計測できる。

10

20

## 【0044】

また、楔型プリズム26A~26Dを使用する場合には、回折格子12の格子パターン面が相対的に傾斜しても回折光の横ずれが低減されて相対移動量を高精度に計測できる。なお、回折格子12の格子パターン面の傾斜がほぼ無い場合には、楔型プリズム26A~26D(方向変更部材)の代わりに平面ミラーのような反射面を持つ光学部材を使用することもできる。

## 【0045】

また、本実施形態のエンコーダ10を用いた移動量計測方法は、図9のフローチャートで示すように、第1部材6に対して少なくともX方向に相対移動する第2部材7の相対移動量を計測する移動量計測方法である。その計測方法は、第1部材6に設けられ少なくともX方向を周期方向とする格子パターンを有する反射型の回折格子12の格子パターン面12bに、計測光MLを、概ね垂直に入射するステップ102と、回折格子12からX方向に関して発生する±1次回折光DX1、DX2が、回折格子12に入射するときの入射角が、回折光DX1、DX2が発生したときの回折角よりも小さくなるように、楔型プリズム26A、26Bを用いて回折光DX1、DX2の方向を変更するステップ104と、回折光DX1、DX2を、それぞれ3つの反射面を持つコーナーキューブ24A、24Bを介して反射するステップ106と、回折格子12から回折光DX1、DX2によって発生する±1次回折光EX1、EX2(再回折光)と参照光RX1、RX2との干渉光を光電センサ40XA、40XBを用いて検出するステップ108と、その干渉光の検出結果に基づいて、第1部材6に対する第2部材7のX方向及びZ方向の相対移動量を求めるステップ110とを有する。

30

40

## 【0046】

この計測方法によれば、回折光DX1、DX2が回折格子12に入射するときの入射角が小さくなるため、コーナーキューブ24A、24Bに対する回折格子12の格子パターン面12bの相対的な高さが変化しても、回折格子12からの回折光EX1、EX2(再回折光)の光路の変動がほとんどなくなり、第1部材6と第2部材7との相対移動量の計測精度を高く維持できる。

## 【0047】

なお、この計測方法において、ステップ104とステップ106とは順序が逆でもよい。

50

なお、上記の実施形態では以下のような変形が可能である。

上記の実施形態では、X軸及びY軸で1対ずつのコーナーキューブ24A～24D、楔型プリズム26A～26D、及び光電センサ40XA～40YBが設けられているが、第1部材6と第2部材7との3自由度の相対移動量を計測するときには、それらのうちの一つのコーナーキューブ（例えば24D）、対応する一つの楔型プリズム（例えば26D）及び対応する一つの光電センサ（例えば40YB）は省略することが可能である。

【0048】

また、上記の実施形態では2次元の回折格子12が使用されているが、回折格子12の代わりに例えばX方向にのみ周期性を持つ1次元の回折格子を使用してもよい。この場合、検出ヘッド14からは、Y方向に発生する回折光を検出するための光学部材（コーナーキューブ24C、24D及び楔型プリズム26C、26D等）及び光電センサ40YA、40YB等を省略し、光電センサ40XA、40XBの検出信号を用いて第1部材6と第2部材7とのX方向及びZ方向の相対移動量を計測できる。さらに、X方向の-1次回折光DX2を検出するための光学部材（コーナーキューブ24B、楔型プリズム26B等）及び光電センサ40XB等を省略し、光電センサ40XAの検出信号のみを用いて第1部材6と第2部材7とのX方向及びZ方向の相対移動量を計測することもできる。

10

【0049】

また、上記の実施形態では、回折光EX1～EY2と参照光RX1～RY2との干渉光を検出しているが、例えばX軸の第1の周波数の計測光の+1次回折光EX1と第2の周波数の計測光（上記の実施形態では参照光として使用されていた光）の-1次回折光EX2との干渉光、及びY軸の第1の周波数の計測光の+1次回折光EY1と第2の周波数の計測光の-1次回折光EY2との干渉光を検出してもよい。この場合には、第1部材6と第2部材7とのX方向、Y方向の相対移動量を計測できるとともに、回折格子12の格子パターン面12bの相対的な高さの変動しても、2つの回折光の横ずれがないため、常に高いSN比で高精度に計測を行うことができる。

20

【0050】

次に、上記の実施形態では、回折格子12から発生する回折光DX1等はそれぞれ楔型プリズム26A等を介してコーナーキューブ24A等に入射し、コーナーキューブ24A等で反射された回折光が回折格子12に入射している。しかしながら、図4の第1変形例の検出ヘッド14Aで示すように、コーナーキューブ24A等で反射された回折光の光路に楔型プリズム26A1等を配置してもよい。なお、図4において図2(A)に対応する部分には同一の符号を付してその詳細な説明を省略する。

30

【0051】

図4の検出ヘッド14Aにおいて、計測光MLは概ねZ軸に平行に回折格子12の格子パターン12a（格子パターン面）に入射し、格子パターン12aから発生したX方向の+1次回折光DX1は、コーナーキューブ24Aで反射された後、第1の楔型プリズム26A1によって光路がZ軸にほぼ平行になるように曲げられて格子パターン12aに入射する。このとき、コーナーキューブ24Aの入射面が入射する回折光DX1の光路にほぼ（概ね）垂直になるように、コーナーキューブ24Aは支持されている。そして、回折光DX1によって回折格子12から発生したX方向の+1次回折光EX1（再回折光）は第2の楔型プリズム26A2で光路がZ軸に平行になるように折り曲げられた後、PBS28Aで参照光RX1と合成される。他の-1次回折光を検出する部分及びY軸の±1次回折光を検出する部分も同様に、コーナーキューブ24B～24Dで反射された回折光の光路に楔型プリズム26A1と同様の楔型プリズムが配置される。この変形例の検出ヘッド14Aを用いても、上記の実施形態と同様の効果が得られる。

40

【0052】

次に、上記の実施形態では、回折光DX1等の光路を折り曲げる（変更する）ために楔型プリズム26A等を使用している。しかしながら、図5(A)の第2変形例の検出ヘッド14Bで示すように、X方向の回折光DX1の光路を折り曲げるために、X方向（第1方向）に関して反射型の回折格子12と同じ周期pを持つ反射型でブレード型の1次元

50

の回折格子 3 2 を使用してもよい。なお、図 5 ( A ) 及び ( B ) において図 2 ( A ) に対応する部分には同一の符号を付してその詳細な説明を省略する。

【 0 0 5 3 】

図 5 ( A ) の検出ヘッド 1 4 B において、計測光 M L が Z 軸に平行に回折格子 1 2 の格子パターン 1 2 a ( 格子パターン面 ) に入射するものとする。このとき、格子パターン 1 2 a から発生した X 方向の + 1 次回折光 D X 1 は、コーナーキューブ 2 4 A で反射された後、格子パターン面に平行なミラー 2 2 G で反射されて 1 次元の回折格子 3 2 に入射する。回折格子 3 2 の X 方向の周期 p は回折格子 1 2 の X 方向の周期と同じであり、かつ回折格子 3 2 はブレード型であるため、回折格子 3 2 に入射する光 ( 回折光 D X 1 ) のほとんど全部が Z 軸に平行な + 1 次回折光 F X 1 となる。すなわち、回折格子 3 2 と回折格子 1 2 とは、入射光と回折光との関係が入れ替わっており、回折格子 1 2 に入射する計測光 M L の入射角と回折格子 3 2 から発生する + 1 次回折光 F X 1 の回折角、及び回折格子 1 2 から発生する X 方向の + 1 次回折光 D X の回折角と回折格子 3 2 に入射する + 1 次回折光 D X の入射角が、それぞれ等しくなっている。

10

【 0 0 5 4 】

このとき、コーナーキューブ 2 4 A の入射面が入射する回折光 D X 1 の光路にほぼ垂直になるように、コーナーキューブ 2 4 A は支持されている。そして、回折光 F X 1 によって回折格子 1 2 から発生した X 方向の + 1 次回折光 E X 1 ( 再回折光 ) は楔型プリズム 2 6 A 2 で光路が Z 軸に平行になるように折り曲げられた後、 P B S 2 8 A で参照光 R X 1 と合成される。他の - 1 次回折光を検出する部分及び Y 軸の ± 1 次回折光を検出する部分も同様に、コーナーキューブ 2 4 B ~ 2 4 D で反射された回折光の光路にミラー 2 2 G と同様のミラー及び回折格子 3 2 と同様の 1 次元の回折格子が配置される。この変形例の検出ヘッド 1 4 B を用いても、上記の実施形態と同様の効果が得られる。

20

【 0 0 5 5 】

ここで、図 5 ( A ) の第 2 変形例の配置において、図 5 ( B ) に示すように、検出ヘッド 1 4 B に対して回折格子 1 2 の格子パターン 1 2 a ( 格子パターン面 ) が Y 軸に平行な軸の回りに角度  $\theta$  だけ反時計回りに変化した場合を想定する。このとき、計測光 M L の格子パターン 1 2 a に対する入射角は  $\theta$  であり、 + 1 次回折光 D X 1 の回折角を  $(\theta + \alpha)$  とすると、回折角の変化量  $\Delta\alpha$  は上述の式 ( 6 ) となる。

【 0 0 5 6 】

また、格子パターン 1 2 a が角度  $\theta$  だけ傾斜したときの回折格子 1 2 からの + 1 次回折光 D X 1 の光路 B 1 2 の角度の変化量  $\Delta\beta$  は、上述の式 ( 7 ) になる。

30

また、回折格子 3 2 では、上述の式 ( 6 ) と逆の関係が成立するため、回折格子 3 2 における + 1 次回折光 F X 1 の回折角の入射光 ( 回折光 D X 1 ) の入射角に関する変化率は、 $\cos(\theta + \alpha)$  となる。これは、上記の実施形態 ( 図 2 ( A ) ) の楔型プリズム 2 6 A の変化率と同じである。この結果、回折格子 3 2 から発生する回折光 F X 1 の光路 B 1 5 の角度の変化量  $\Delta\gamma$  は、上述の式 ( 8 ) と同じく  $\{ \cos(\theta + \alpha) + 1 \}$  となる。

【 0 0 5 7 】

そして、格子パターン 1 2 a ( 格子パターン面 ) は角度  $\theta$  だけ傾斜しているため、回折格子 3 2 から格子パターン 1 2 a に入射する回折光 F X 1 の入射角  $\theta + \alpha$  は上述の式 ( 9 ) と同じく  $\theta + \alpha \cdot \cos(\theta + \alpha)$  となる。

40

また、回折光 F X 1 が回折格子 1 2 に入射角  $\theta + \alpha$  で入射すると、回折光 F X 1 による回折格子 1 2 からの + 1 次回折光 E X 1 ( 再回折光 ) の回折角の変化量  $\Delta\delta$  は、式 ( 6 ) から傾斜角  $\theta$  ( 式 ( 1 0 ) 参照 ) と同じになる。

【 0 0 5 8 】

これは、回折光 E X 1 の回折角の変化量  $\Delta\delta$  は格子パターン 1 2 a の傾斜角  $\theta$  に等しいこと、すなわち回折光 E X 1 の光路 B 1 4 は、格子パターン 1 2 a が傾斜する前の光路に平行であることを意味する。また、回折光 E X 1 の光路 B 1 4 の横シフトも生じていない。このため、 P B S 2 8 A において回折光 E X 1 と参照光 R X 1 との相対的な傾きのずれ及び相対的な横ずれ量がないため、その干渉光を光電変換したときに得られる検出信号

50

S Aのうちの交流信号(ビート信号又は信号成分)の割合が低下することがない。

【0059】

なお、この図5(A)の変形例において、回折格子32及びミラー22Gを回折格子12からコーナーキューブ24Aに向かう回折光DX1の光路中に配置することも可能である。

上述の変形例において、第1方向変更部材と見なすことができる回折格子32のX方向(第1方向)に関する周期は反射型の回折格子12と同じ周期pであったが、この回折格子32の周期を反射型の回折格子12の周期pから若干ずらしても良い。また、1次元の回折格子32の周期方向を、反射型の回折格子12の周期方向であるX方向及びY方向(第1方向及び第2方向)に対してわずかに傾けても良い。また、第1反射部材と見なすことができるコーナーキューブ24Aの3つ反射面を互いに直交する角度から若干ずらしても良い。また、回折格子12の格子パターン面12bに入射する計測光MLと、格子パターン面12bで回折された後にコーナーキューブ24Aを経由して再び格子パターン面12bに入射する回折光との進行方向が互いに平行から若干ずれるように、第1方向変更部材による偏向角を設定しても良い。

10

【0060】

なお、図1の構成において、光源(例えば、レーザ光源16)から干渉部(例えば、PBS28A~28D)までの参照光RL(RX1~RY2)の光路長と計測光ML(回折光EX1~EY2)の光路長とがほぼ等しくなるように設定してもよい。この場合、エンコーダ10の検出ヘッド14内の光学素子の配置によって参照光RLの光路長と計測光MLの光路長とがほぼ等しくなるように構成することができる。また、光源から検出ヘッド14に至るまでの間(例えば、光ファイバー等の導光部を用いる場合には、この導光部の長さの調整等)で参照光RLの光路長と計測光MLの光路長とがほぼ等しくなるように構成することも可能である。

20

【0061】

また、図1の構成において、楔型プリズム26A~26Bの代わりに、それら楔型プリズム26A~26Dの偏向作用と等価な偏向作用を持つ回折格子(典型的には1次元回折格子)を用いても良い。

このような回折格子を用いる場合、それらの回折格子の回折パターンの周期を反射型の回折格子12の周期pから若干ずらしても良い。また、それらの回折格子の周期方向を、反射型の回折格子12の周期方向であるX方向及びY方向(第1方向及び第2方向)に対してわずかに傾けても良い。また、この場合においても、第1反射部材と見なすことができるコーナーキューブ24Aの3つ反射面を互いに直交する角度から若干ずらしても良い。また、この場合においても、回折格子12の格子パターン面12bに入射する計測光MLと、格子パターン面12bで回折された後にコーナーキューブを経由して再び格子パターン面12bに入射する回折光との進行方向が互いに平行から若干ずれるように、上記の1次元回折格子による偏向角(回折角)を設定しても良い。

30

【0062】

また、図1及び図4の構成において、コーナーキューブ24A~24D、楔型プリズム26A~26Dはそれぞれ別体として形成されているが、これらは一体に形成されたものであってもよい。例えば、コーナーキューブ24Aと楔型プリズム26Aとを間隔をあけることなく一体に形成し、同様にコーナーキューブ24B~24Dと、対応する楔型プリズム26B~26Dとを、間隔をあけることなくそれぞれ一体に形成してもよい。この時、一体に形成されたコーナーキューブ24A~24Dと、楔型プリズム26A~26Dにより進行方向が変更される回折光DX1~DY2が、概ね垂直に回折格子12に入射されるように、楔形プリズム26A~26Dの形状を調整する。

40

【0063】

[第2の実施形態]

本発明の第2の実施形態につき図6~図8を参照して説明する。図6は、この実施形態に係るエンコーダ装置を備えた露光装置EXの概略構成を示す。露光装置EXは、スキャ

50



ニングステッパーよりなる走査露光型の投影露光装置である。露光装置EXは、投影光学系PL（投影ユニットPU）を備えており、以下、投影光学系PLの光軸AXと平行にZ軸を取り、これに直交する面（ほぼ水平面に平行な面）内でレチクルRとウエハWとが相対走査される方向にY軸を、Z軸及びY軸に直交する方向にX軸を取って説明する。

【0064】

露光装置EXは、例えば米国特許出願公開第2003/0025890号明細書などに開示される照明系110、及び照明系110からの露光用の照明光（露光光）IL（例えば波長193nmのArFエキシマレーザ光、固体レーザ（半導体レーザなど）の高調波など）により照明されるレチクルR（マスク）を保持するレチクルステージRSTを備えている。米国特許出願公開第2003/0025890号のすべての内容を援用して、本文の記載の一部とする。さらに、露光装置EXは、レチクルRから射出された照明光ILをウエハW（基板）に投射する投影光学系PLを含む投影ユニットPU、ウエハWを保持するウエハステージWSTを含むステージ装置195、及び制御系等（図8参照）を備えている。

10

【0065】

レチクルRはレチクルステージRSTの上面に真空吸着等により保持され、レチクルRのパターン面（下面）には、回路パターンなどが形成されている。レチクルステージRSTは、例えばリニアモータ等を含む図8のレチクルステージ駆動系111によって、XY平面内で微少駆動可能であると共に、走査方向（Y方向）に指定された走査速度で駆動可能である。

20

【0066】

レチクルステージRSTの移動面内の位置情報（X方向、Y方向の位置、及びz方向の回転角を含む）は、レーザ干渉計よりなるレチクル干渉計116によって、移動鏡115（又は鏡面加工されたステージ端面）を介して例えば0.5～0.1nm程度の分解能で常時検出される。レチクル干渉計116の計測値は、図8のコンピュータよりなる主制御装置120に送られる。主制御装置120は、その計測値に基づいてレチクルステージ駆動系111を制御することで、レチクルステージRSTの位置及び速度を制御する。

【0067】

図6において、レチクルステージRSTの下方に配置された投影ユニットPUは、鏡筒140と、鏡筒140内に所定の位置関係で保持された複数の光学素子を有する投影光学系PLとを含む。投影光学系PLは、例えば両側テレセントリックで所定の投影倍率（例えば1/4倍、1/5倍などの縮小倍率）を有する。照明系110からの照明光ILによってレチクルRの照明領域IARが照明されると、レチクルRを通過した照明光ILにより、投影光学系PLを介して照明領域IAR内のレチクルRの回路パターンの像が、ウエハ（半導体ウエハ）Wの一つのショット領域の露光領域IA（照明領域IARと共役な領域）に形成される。

30

【0068】

また、露光装置EXは、液浸法を適用した露光を行うため、投影光学系PLを構成する最も像面側（ウエハW側）の光学素子である先端レンズ191を保持する鏡筒140の下端部の周囲を取り囲むように、局所液浸装置108の一部を構成するノズルユニット132が設けられている。ノズルユニット132は、露光用の液体Lq（例えば純水）を供給するための供給管131A及び回収管131Bを介して、液体供給装置186及び液体回収装置189（図8参照）に接続されている。なお、液浸タイプの露光装置としない場合には、上記の局所液浸装置108は設けなくともよい。

40

【0069】

また、ウエハステージWSTは、不図示の複数の例えば真空予圧型空気静圧軸受（エアパッド）を介して、ベース盤112のXY面に平行な上面112aに非接触で支持されている。ウエハステージWSTは、例えば平面モータ、又は直交する2組のリニアモータを含むステージ駆動系124（図8参照）によってX方向及びY方向に駆動可能である。露光装置EXは、レチクルRのアライメントを行う空間像計測系（不図示）、ウエハWのア

50

ライメントを行うアライメント系 A L ( 図 8 参照 )、照射系 9 0 a 及び受光系 9 0 b よりなりウエハ W の表面の複数箇所の Z 位置を計測する斜入射方式の多点のオートフォーカスセンサ 9 0 ( 図 8 参照 )、及びウエハステージ W S T の位置情報を計測するためのエンコーダ装置 8 B を備えている。

#### 【 0 0 7 0 】

ウエハステージ W S T は、X 方向、Y 方向に駆動されるステージ本体 1 9 1 と、ステージ本体 1 9 1 上に搭載されたウエハテーブル W T B と、ステージ本体 1 9 1 内に設けられて、ステージ本体 1 9 1 に対するウエハテーブル W T B ( ウエハ W ) の Z 方向の位置、及び x 方向、y 方向のチルト角を相対的に微小駆動する Z ・レベリング機構 ( 不図示 ) とを備えている。ウエハテーブル W T B の中央の上部には、ウエハ W を真空吸着等によって

10

#### 【 0 0 7 1 】

また、ウエハテーブル W T B の上面には、ウエハホルダ上に載置されるウエハの表面とほぼ同一面となる、液体 L q に対して撥液化処理された表面 ( 又は保護部材 ) を有し、かつ外形 ( 輪郭 ) が矩形でその中央部にウエハホルダ ( ウエハの載置領域 ) よりも一回り大きな円形の開口が形成された高平面度の平板状のプレート体 1 2 8 が設けられている。

なお、上述の局所液浸装置 1 0 8 を設けたいわゆる液浸型の露光装置の構成にあっては、さらにプレート体 1 2 8 は、図 7 のウエハテーブル W T B ( ウエハステージ W S T ) の平面図に示されるように、その円形の開口を囲む、外形 ( 輪郭 ) が矩形の表面に撥液化処理が施されたプレート部 ( 撥液板 ) 1 2 8 a と、プレート部 1 2 8 a を囲む周辺部 1 2 8 e とを有する。周辺部 1 2 8 e の上面に、プレート部 1 2 8 a を Y 方向に挟むように X 方向に細長い 1 対の 2 次元の回折格子 1 2 A , 1 2 B が配置され、プレート部 1 2 8 a を X 方向に挟むように Y 方向に細長い 1 対の 2 次元の回折格子 1 2 C , 1 2 D が配置されている。回折格子 1 2 A ~ 1 2 D は、図 1 の回折格子 1 2 と同様に X 方向、Y 方向を周期方向とする 2 次元の格子パターンが形成された反射型の回折格子である。

20

#### 【 0 0 7 2 】

また、図 6 において、投影ユニット P U を支持するフレーム ( 不図示 ) に連結部材 ( 不図示 ) を介して X Y 面にほぼ平行な平板状の計測フレーム 1 5 0 が支持されている。計測フレーム 1 5 0 の底面に、投影光学系 P L を X 方向に挟むように、図 1 の 3 軸の検出ヘッド 1 4 と同じ構成の複数の検出ヘッド 1 4 が固定され、投影光学系 P L を Y 方向に挟むように、図 1 の検出ヘッド 1 4 と同じ構成の複数の検出ヘッド 1 4 が固定されている ( 図 7 参照 )。また、複数の検出ヘッド 1 4 にレーザ光 ( 計測光及び参照光 ) を供給するための図 1 のレーザ光源 1 6 と同様の一つ又は複数のレーザ光源 ( 不図示 ) も備えられている。

30

#### 【 0 0 7 3 】

図 7 において、投影光学系 P L からの照明光でウエハ W を露光している期間では、常に Y 方向の一行 A 1 内の複数の検出ヘッド 1 4 のいずれか 2 つが回折格子 1 2 A , 1 2 B に対向し、X 方向の一行 A 2 の複数の検出ヘッド 1 4 のいずれか 2 つが回折格子 1 2 C , 1 2 D に対向するように構成されている。一行 A 1 内の各検出ヘッド 1 4 は、回折格子 1 2 A 又は 1 2 B に計測光を照射し、回折格子 1 2 A , 1 2 B から発生する回折光と参照光との干渉光の検出信号を対応する計測演算部 4 2 ( 図 8 参照 ) に供給する。これらの計測演算部 4 2 では、図 1 の計測演算部 4 2 と同様に、ウエハステージ W S T と計測フレーム 1 5 0 との X 方向、Y 方向、Z 方向の相対位置 ( 相対移動量 ) を例えば 0 . 5 ~ 0 . 1 nm の分解能で求めてそれぞれ計測値を切り替え部 8 0 A に供給する。計測値切り替え部 8 0 A では、回折格子 1 2 A , 1 2 B に対向している検出ヘッド 1 4 に対応する計測演算部 4 2 から供給される相対位置の情報を主制御装置 1 2 0 に供給する。

40

#### 【 0 0 7 4 】

また、一行 A 2 に対応する各検出ヘッド 1 4 は、回折格子 1 2 C 又は 1 2 D に計測光を照射し、回折格子 1 2 C , 1 2 D から発生する回折光と参照光との干渉光の検出信号を対応する計測演算部 4 2 ( 図 8 参照 ) に供給する。これらの計測演算部 4 2 では、図 1 の計測演算部 4 2 と同様に、ウエハステージ W S T と計測フレーム 1 5 0 との X 方向、Y 方向

50

、Z方向の相対位置（相対移動量）を例えば0.5～0.1nmの分解能で求めて計測値切り替え部80Bに供給する。計測値切り替え部80Bでは、回折格子12C、12Dに対向している検出ヘッド14に対応する計測演算部42から供給される相対位置の情報を主制御装置120に供給する。

【0075】

一列A1内の複数の検出ヘッド14、レーザ光源（不図示）、計測演算部42、及び回折格子12A、12Bから3軸のエンコーダ10Aが構成され、一行A2内の複数の検出ヘッド14、レーザ光源（不図示）、計測演算部42、及び回折格子12C、12Dから3軸のエンコーダ10Bが構成されている。そして、3軸のエンコーダ10A、10B、及び計測値切り替え部80A、80Bからエンコーダ装置8Bが構成されている。主制御装置120は、エンコーダ装置8Bから供給される相対位置の情報に基づいて、計測フレーム150（投影光学系PL）に対するウエハステージWSTのX方向、Y方向、Z方向の位置、及びz方向の回転角等の情報を求め、この情報に基づいてステージ駆動系124を介してウエハステージWSTを駆動する。

10

【0076】

そして、露光装置EXの露光時には、先ずレチクルR及びウエハWのアライメントが行われる。その後、レチクルRへの照明光ILの照射を開始して、投影光学系PLを介してレチクルRのパターンの一部の像をウエハWの表面の一つのショット領域に投影しつつ、レチクルステージRSTとウエハステージWSTとを投影光学系PLの投影倍率を速度比としてY方向に同期して移動（同期走査）する走査露光動作によって、そのショット領域にレチクルRのパターン像が転写される。その後、ウエハステージWSTを介してウエハWをX方向、Y方向にステップ移動する動作と、上記の走査露光動作とを繰り返すことによって、液浸法でかつステップ・アンド・スキャン方式でウエハWの全部のショット領域にレチクルRのパターン像が転写される。

20

【0077】

この際に、エンコーダ装置8Bの検出ヘッド14においては、計測光及び回折光の光路長はレーザ干渉計に比べて短いため、検出ヘッド14を用いた計測値に対する空気揺らぎの影響が非常に小さい。従って、本実施形態のエンコーダ装置8Bは、レーザ干渉計と比較して、空気が揺らぐ程度の短い期間における計測安定性（短期安定性）が格段に優れているため、レチクルRのパターン像をウエハWに高精度に転写できる。さらに、検出ヘッド14は回折格子12A～12DのZ位置が変化しても常に高いSN比で相対移動量の上方を含む信号を検出できるため、常に高精度にウエハステージWSTを駆動できる。

30

【0078】

なお、本実施形態では、計測フレーム150側に検出ヘッド14を配置し、ウエハステージWST側に回折格子12A～12Dを配置している。この他の構成として、計測フレーム150側に回折格子12A～12Dを配置し、ウエハステージWST側に検出ヘッド14を配置してもよい。このような構成は、例えば、米国特許第8,115,906号、第8,228,482号、第8,237,916号公報や、米国特許公開第2009/284717号、第2009/284723号、第2009/284724号公報などに記載されている。ここでは、米国特許第8,115,906号、第8,228,482号、第8,237,916号公報、米国特許公開第2009/284717号、第2009/284723号および第2009/284724号公報の教示を参照として援用する。

40

【0079】

また、上記実施形態では、ウエハステージWSTのXY平面に平行な面、具体的には上面に、回折格子が配置された場合について説明したが、これに限らず、例えば米国特許公開第2010/073652号および第2010/082095号のようにウエハステージWSTの下面に回折格子を設ける構成であっても良い。ここでは、米国特許公開第2010/073652号および第2010/082095号の教示を参照として援用する。なお、ウエハステージWSTの側面にグレーティングを配置しても良い。

【0080】

50

なお、上記実施形態において、例えば米国特許第2007/127006号公報などに開示されているように、ウエハステージWSTとは別に計測ステージMSTを備えていても良い。また、例えば米国特許第6,341,007号明細書および米国特許第6,262,796号明細書などに開示されているように、2つのウエハステージを用いて露光動作と計測動作（例えば、アライメント系によるマーク検出など）とをほぼ並行して実行可能なツインウエハステージ方式に本実施形態のエンコーダを適用しても良い。ここでは、米国特許第2007/127006号公報の教示を参照として援用する。

#### 【0081】

また、上記の実施形態の露光装置EX又は露光方法を用いて半導体デバイス等の電子デバイス（又はマイクロデバイス）を製造する場合、電子デバイスは、図10に示すように、電子デバイスの機能・性能設計を行うステップ221、この設計ステップに基づいたレチクル（マスク）を製作するステップ222、デバイスの基材である基板（ウエハ）を製造してレジストを塗布するステップ223、前述した実施形態の露光装置（露光方法）によりレチクルのパターンを基板（感光基板）に露光する工程、露光した基板を現像する工程、現像した基板の加熱（キュア）及びエッチング工程などを含む基板処理ステップ224、デバイス組み立てステップ（ダイシング工程、ボンディング工程、パッケージ工程などの加工プロセスを含む）225、並びに検査ステップ226等を経て製造される。

#### 【0082】

言い換えると、このデバイスの製造方法は、上記の実施例の露光装置EX（露光方法）を用いてレチクルのパターンの像を基板（ウエハ）に転写し、その基板を現像するリソグラフィ工程と、そのパターンの像が転写されたその基板をそのパターンの像に基づいて加工する工程（ステップ224のエッチング等）とを含んでいる。この際に、上記の実施例によれば、露光装置のウエハステージWSTの位置を高精度に制御できるため、電子デバイスを高精度に製造できる。

#### 【0083】

なお、本発明は、上述の走査露光型の投影露光装置（スキャナ）の他に、ステップ・アンド・リピート方式の投影露光装置（ステップ等）にも適用できる。さらに、本発明は、液浸型露光装置以外のドライ露光型の露光装置にも同様に適用することができる。

また、本発明は、半導体デバイス製造用の露光装置への適用に限定されることなく、例えば、角型のガラスプレートに形成される液晶表示素子、若しくはプラズマディスプレイ等のディスプレイ装置用の露光装置や、撮像素子（CCD等）、マイクロマシーン、薄膜磁気ヘッド、及びDNAチップ等の各種デバイスを製造するための露光装置にも広く適用できる。更に、本発明は、各種デバイスのマスクパターンが形成されたマスク（フォトマスク、レチクル等）をフォトリソグラフィ工程を用いて製造する際の、露光装置にも適用することができる。

#### 【0084】

また、上記の実施形態のエンコーダ10は、露光装置以外の検査装置又は計測装置等の検査又は加工対象の物体用の光学系（レーザ光を集光する光学系等）と、その物体を移動する移動装置（ステージ等）とを備えた光学装置において、その移動装置（物体）の例えばその光学系に対する相対移動量を計測するために適用することができる。さらに、エンコーダの計測結果に基づいてその移動装置（物体）を移動するために適用することができる。

#### 【0085】

なお、本発明は上述の実施形態に限定されず、本発明の要旨を逸脱しない範囲で種々の構成を取り得ることは勿論である。

また、本願に記載した上記公報、各国際公開パンフレット、米国特許、又は米国特許出願公開明細書における開示を援用して本明細書の記載の一部とする。また、明細書、特許請求の範囲、図面、及び要約を含む2011年11月17日付け提出の日本国特許出願第2011-251986号の全ての開示内容は、そっくりそのまま引用して本願に組み込まれている。

10

20

30

40

50

## 【 0 0 8 6 】

また、本発明は、以下の条項に従って記述することもできる。

1 . 第 1 部材と該第 1 部材に対して少なくとも第 1 方向に相対移動可能に支持された第 2 部材との相対移動量を計測するエンコーダ装置であって、

前記第 1 部材に設けられ、少なくとも前記第 1 方向を周期方向とする格子パターンを有する反射型の回折格子と、

計測光を射出する光源部と、

前記第 2 部材に設けられ、前記計測光を前記回折格子の格子パターン面に概ね垂直に入射させる入射用光学部材と、

前記第 2 部材に設けられるとともに、前記計測光によって前記回折格子から前記第 1 方向に関して発生する第 1 回折光を前記回折格子に入射させる第 1 反射部材と、

前記第 2 部材に設けられるとともに、前記計測光によって前記回折格子から前記第 1 方向に関して発生する前記第 1 回折光と異なる次数の第 2 回折光を前記回折格子に入射させる第 2 反射部材と、

前記第 1 回折光によって前記回折格子から発生する第 1 の再回折光と他の光束との干渉光を検出する第 1 光電検出器と、

前記第 2 回折光によって前記回折格子から発生する第 2 の再回折光と他の光束との干渉光を検出する第 2 光電検出器と、

前記第 1 及び第 2 光電検出器の検出信号を用いて前記第 1 部材と前記第 2 部材との相対移動量を求める計測部と、

を備えることを特徴とするエンコーダ装置。

10

20

## 【 0 0 8 7 】

2 . 前記第 2 反射部材は、前記入射用光学部材に関して前記第 1 反射部材に概ね対称に前記第 2 部材に設けられることを特徴とする条項 1 に記載のエンコーダ装置。

3 . 前記回折格子と前記第 1 反射部材との間に配置されて、前記第 1 回折光の前記第 1 反射部材に対する入射角を小さくする第 1 方向変更部材と、

前記回折格子と前記第 2 反射部との間に配置されて、前記第 2 回折光の前記第 2 反射部材に対する入射角を小さくする第 2 方向変更部材と、を備えることを特徴とする条項 1 ~ 2 のいずれか一項に記載のエンコーダ装置。

4 . 前記回折格子は、前記第 1 方向及び該第 1 方向に直交する第 2 方向を周期方向とする 2 次元の反射型の回折格子であり、

前記第 2 部材に設けられるとともに、前記計測光によって前記回折格子から前記第 2 方向に関して発生する第 3 回折光を前記回折格子に入射させる第 3 反射部材と、

前記第 2 部材に設けられるとともに、前記計測光によって前記回折格子から前記第 2 方向に関して発生する前記第 3 回折光と異なる次数の第 4 回折光を前記回折格子に入射させる第 4 反射部と、

前記第 3 回折光によって前記回折格子から発生する第 3 の再回折光と他の光束との干渉光を検出する第 3 光電検出器と、

前記第 4 回折光によって前記回折格子から発生する第 4 の再回折光と他の光束との干渉光を検出する第 4 光電検出器と、を備え、

前記計測部は、前記第 1、第 2、第 3、及び第 4 光電検出器の検出信号を用いて前記第 1 部材と前記第 2 部材との相対移動量を求めることを特徴とする条項 1 ~ 3 のいずれか一項に記載のエンコーダ装置。

30

40

## 【 0 0 8 8 】

5 . 前記計測部は、前記第 1 部材と前記第 2 部材との前記第 1 方向、前記第 2 方向、及び前記回折格子の格子パターン面に垂直な第 3 方向の相対移動量を求めることを特徴とする条項 4 に記載のエンコーダ装置。

6 . パターンを被露光体に露光する露光装置であって、

フレームと、

前記被露光体を支持するとともに前記フレームに対して少なくとも第 1 方向に相対移動

50

可能なステージと、

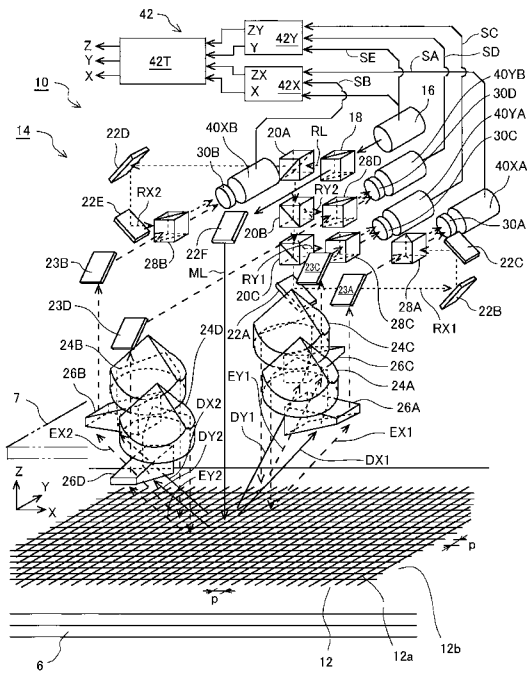
少なくとも前記第1方向への前記フレームと前記ステージとの相対移動量を計測するための条項1~5のいずれか一項に記載のエンコーダ装置と、を備えることを特徴とする露光装置。

【符号の説明】

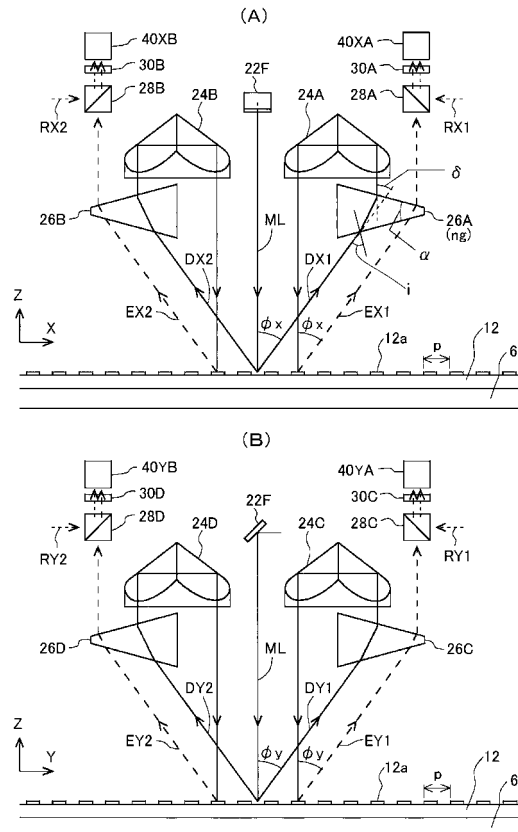
【0089】

EX...露光装置、R...レチクル、W...ウエハ、ML...計測光、DX1, DY1, EX1, EY1...+1次回折光、DX2, DY2, EX2, EY2...-1次回折光、10...3軸のエンコーダ、12...2次元の回折格子、14...3軸の検出ヘッド、16...レーザ光源、24A~24D...コーナーキューブ、26A~26D...楔型プリズム、40XA, 40XB, 40YA, 40YB...光電センサ、32...1次元の回折格子、42...計測演算部

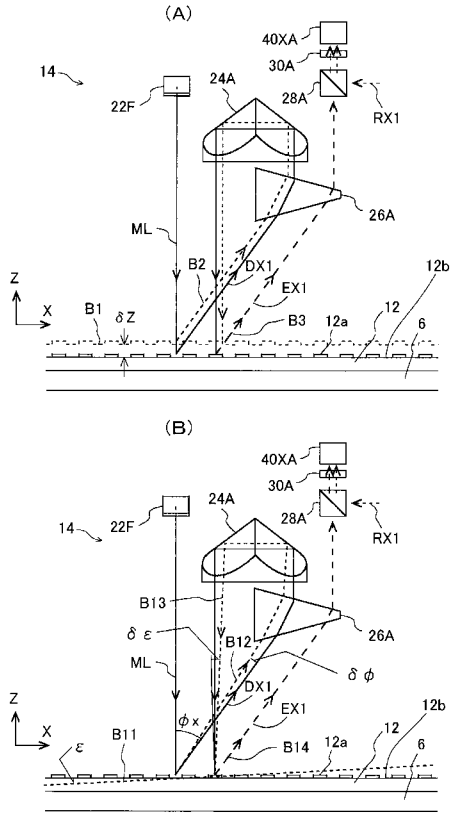
【図1】



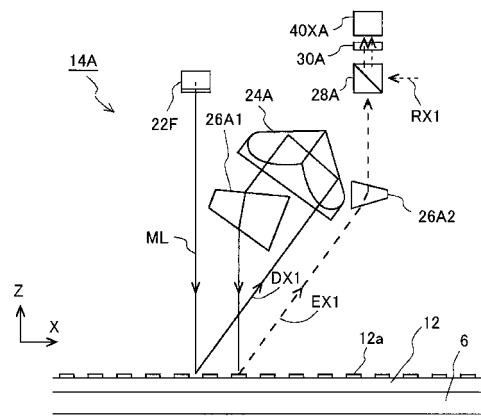
【図2】



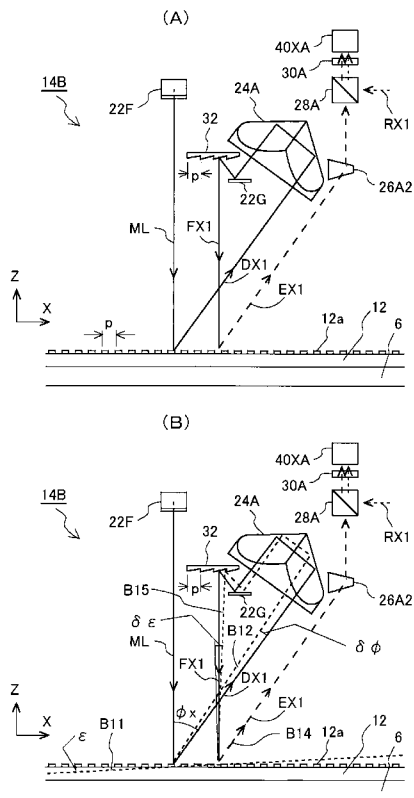
【 図 3 】



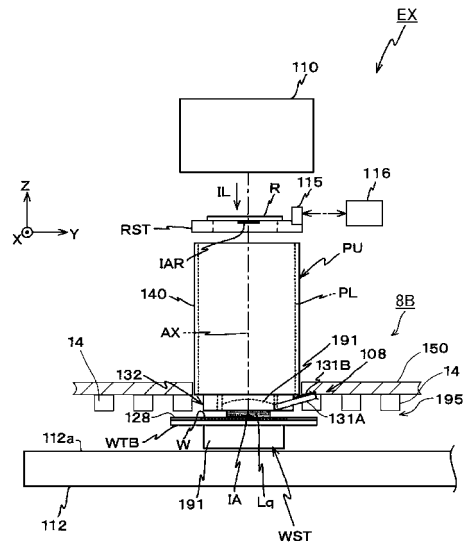
【 図 4 】



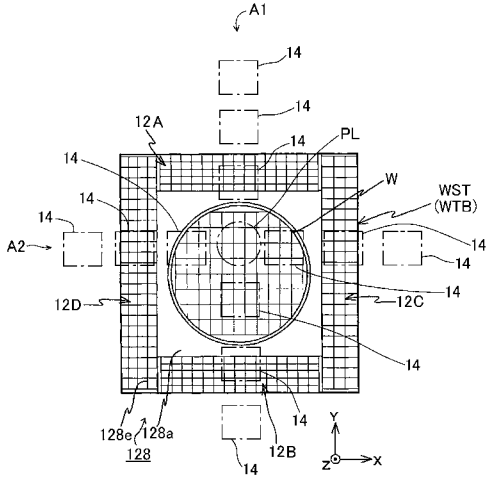
【 図 5 】



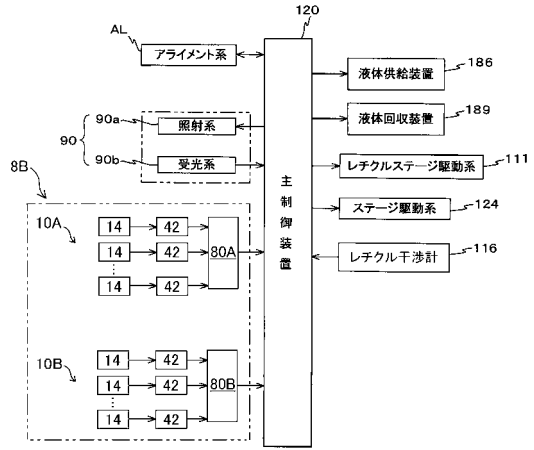
【 図 6 】



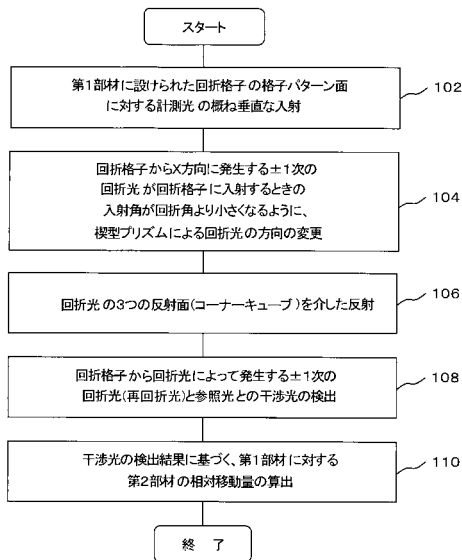
【 図 7 】



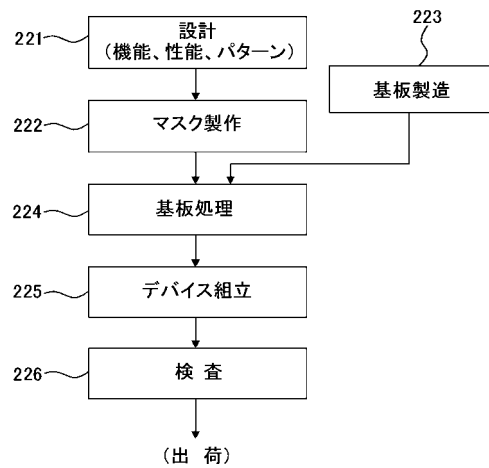
【 図 8 】



【 図 9 】



【 図 10 】





## 【 国際調査報告 】

INTERNATIONAL SEARCH REPORT		International application No. PCT/JP2012/079432
<b>A. CLASSIFICATION OF SUBJECT MATTER</b> G01D5/38(2006.01)i, G03F7/20(2006.01)i, H01L21/027(2006.01)i  According to International Patent Classification (IPC) or to both national classification and IPC		
<b>B. FIELDS SEARCHED</b> Minimum documentation searched (classification system followed by classification symbols) G01D5/26-5/38, G03F7/20, G03F9/00, H01L21/027  Documentation searched other than minimum documentation to the extent that such documents are included in the fields searched Jitsuyo Shinan Koho 1922-1996 Jitsuyo Shinan Toroku Koho 1996-2013 Kokai Jitsuyo Shinan Koho 1971-2013 Toroku Jitsuyo Shinan Koho 1994-2013  Electronic data base consulted during the international search (name of data base and, where practicable, search terms used)		
<b>C. DOCUMENTS CONSIDERED TO BE RELEVANT</b>		
Category*	Citation of document, with indication, where appropriate, of the relevant passages	Relevant to claim No.
A	WO 2008/029757 A1 (Nikon Corp.), 13 March 2008 (13.03.2008), entire text; all drawings & CN 101405838 A & CN 102360169 A & EP 2071613 A1 & JP 2012-169655 A & KR 10-2009-0063179 A & SG 174102 A & SG 183736 A & TW 200830360 A & US 2008/0094593 A1	1-21
A	JP 2010-272863 A (ASML Netherlands B.V.), 02 December 2010 (02.12.2010), entire text; all drawings & US 2010/0297561 A1	1-21
<input checked="" type="checkbox"/> Further documents are listed in the continuation of Box C. <input type="checkbox"/> See patent family annex.		
* Special categories of cited documents: "A" document defining the general state of the art which is not considered to be of particular relevance "E" earlier application or patent but published on or after the international filing date "L" document which may throw doubts on priority claim(s) or which is cited to establish the publication date of another citation or other special reason (as specified) "O" document referring to an oral disclosure, use, exhibition or other means "P" document published prior to the international filing date but later than the priority date claimed "T" later document published after the international filing date or priority date and not in conflict with the application but cited to understand the principle or theory underlying the invention "X" document of particular relevance; the claimed invention cannot be considered novel or cannot be considered to involve an inventive step when the document is taken alone "Y" document of particular relevance; the claimed invention cannot be considered to involve an inventive step when the document is combined with one or more other such documents, such combination being obvious to a person skilled in the art "&" document member of the same patent family		
Date of the actual completion of the international search 04 February, 2013 (04.02.13)		Date of mailing of the international search report 12 February, 2013 (12.02.13)
Name and mailing address of the ISA/ Japanese Patent Office		Authorized officer  Telephone No.
Facsimile No.		

## INTERNATIONAL SEARCH REPORT

International application No.

PCT/JP2012/079432

C (Continuation). DOCUMENTS CONSIDERED TO BE RELEVANT		
Category*	Citation of document, with indication, where appropriate, of the relevant passages	Relevant to claim No.
A	JP 2010-38654 A (Sony Corp.), 18 February 2010 (18.02.2010), entire text; all drawings (Family: none)	1-21
A	JP 2006-322835 A (Nikon Corp.), 30 November 2006 (30.11.2006), entire text; all drawings (Family: none)	1-21
A	JP 2006-177876 A (Mitsutoyo Corp.), 06 July 2006 (06.07.2006), entire text; all drawings & CN 1793778 A & EP 1674834 A2 & US 2006/0139654 A1	1-21
A	JP 3-2520 A (Hitachi, Ltd.), 08 January 1991 (08.01.1991), entire text; all drawings (Family: none)	1-21

国際調査報告		国際出願番号 PCT/JP2012/079432									
A. 発明の属する分野の分類 (国際特許分類 (IPC)) Int.Cl. G01D5/38(2006.01)i, G03F7/20(2006.01)i, H01L21/027(2006.01)i											
B. 調査を行った分野 調査を行った最小限資料 (国際特許分類 (IPC)) Int.Cl. G01D5/26-5/38, G03F7/20, G03F9/00, H01L21/027											
最小限資料以外の資料で調査を行った分野に含まれるもの <table border="0"> <tr> <td>日本国実用新案公報</td> <td>1922-1996年</td> </tr> <tr> <td>日本国公開実用新案公報</td> <td>1971-2013年</td> </tr> <tr> <td>日本国実用新案登録公報</td> <td>1996-2013年</td> </tr> <tr> <td>日本国登録実用新案公報</td> <td>1994-2013年</td> </tr> </table>				日本国実用新案公報	1922-1996年	日本国公開実用新案公報	1971-2013年	日本国実用新案登録公報	1996-2013年	日本国登録実用新案公報	1994-2013年
日本国実用新案公報	1922-1996年										
日本国公開実用新案公報	1971-2013年										
日本国実用新案登録公報	1996-2013年										
日本国登録実用新案公報	1994-2013年										
国際調査で使用した電子データベース (データベースの名称、調査に使用した用語)											
C. 関連すると認められる文献											
引用文献の カテゴリー*	引用文献名 及び一部の箇所が関連するときは、その関連する箇所の表示	関連する 請求項の番号									
A	WO 2008/029757 A1 (株式会社ニコン) 2008.03.13, 全文, 全図 & CN 101405838 A & CN 102360169 A & EP 2071613 A1 & JP 2012-169655 A & KR 10-2009-0063179 A & SG 174102 A & SG 183736 A & TW 200830360 A & US 2008/0094593 A1	1-21									
A	JP 2010-272863 A (エーエヌエムエル ネザーランズ ビー. プイ.) 2010.12.02, 全文, 全図 & US 2010/0297561 A1	1-21									
<input checked="" type="checkbox"/> C欄の続きにも文献が列挙されている。 <input type="checkbox"/> パテントファミリーに関する別紙を参照。											
* 引用文献のカテゴリー		の日の後に公表された文献									
「A」特に関連のある文献ではなく、一般的技術水準を示すもの		「T」国際出願日又は優先日後に公表された文献であって出願と矛盾するものではなく、発明の原理又は理論の理解のために引用するもの									
「E」国際出願日前の出願または特許であるが、国際出願日以後に公表されたもの		「X」特に関連のある文献であって、当該文献のみで発明の新規性又は進歩性がないと考えられるもの									
「L」優先権主張に疑義を提起する文献又は他の文献の発行日若しくは他の特別な理由を確立するために引用する文献 (理由を付す)		「Y」特に関連のある文献であって、当該文献と他の1以上の文献との、当業者にとって自明である組合せによって進歩性がないと考えられるもの									
「O」口頭による開示、使用、展示等に言及する文献		「&」同一パテントファミリー文献									
「P」国際出願日前で、かつ優先権の主張の基礎となる出願											
国際調査を完了した日 04.02.2013		国際調査報告の発送日 12.02.2013									
国際調査機関の名称及びあて先 日本国特許庁 (ISA/JP) 郵便番号100-8915 東京都千代田区霞が関三丁目4番3号		特許庁審査官 (権限のある職員) 岡田 卓弥	2F 9206								
		電話番号 03-3581-1101 内線 3216									

国際調査報告

国際出願番号 PCT/JP2012/079432

C (続き) . 関連すると認められる文献		
引用文献の カテゴリー*	引用文献名 及び一部の箇所が関連するときは、その関連する箇所の表示	関連する 請求項の番号
A	JP 2010-38654 A (ソニー株式会社) 2010.02.18, 全文, 全図 (ファミリーなし)	1-21
A	JP 2006-322835 A (株式会社ニコン) 2006.11.30, 全文, 全図 (ファミリーなし)	1-21
A	JP 2006-177876 A (株式会社ミットヨ) 2006.07.06, 全文, 全図 & CN 1793778 A & EP 1674834 A2 & US 2006/0139654 A1	1-21
A	JP 3-2520 A (株式会社日立製作所) 1991.01.08, 全文, 全図 (ファミリーなし)	1-21

## フロントページの続き

(81)指定国 AP(BW, GH, GM, KE, LR, LS, MW, MZ, NA, RW, SD, SL, SZ, TZ, UG, ZM, ZW), EA(AM, AZ, BY, KG, KZ, RU, TJ, TM), EP(AL, AT, BE, BG, CH, CY, CZ, DE, DK, EE, ES, FI, FR, GB, GR, HR, HU, IE, IS, IT, LT, LU, LV, MC, MK, MT, NL, NO, PL, PT, RO, RS, SE, SI, SK, SM, TR), OA(BF, BJ, CF, CG, CI, CM, GA, GN, GQ, GW, ML, MR, NE, SN, TD, TG), AE, AG, AL, AM, AO, AT, AU, AZ, BA, BB, BG, BH, BN, BR, BW, BY, BZ, CA, CH, CL, CN, CO, CR, CU, CZ, DE, DK, DM, DO, DZ, EC, EE, EG, ES, FI, GB, GD, GE, GH, GM, GT, HN, HR, HU, ID, IL, IN, IS, JP, KE, KG, KM, KN, KP, KR, KZ, LA, LC, LK, LR, LS, LT, LU, LY, MA, MD, ME, MG, MK, MN, MW, MX, MY, MZ, NA, NG, NI, NO, NZ, OM, PA, PE, PG, PH, PL, PT, QA, RO, RS, RU, RW, SC, SD, SE, SG, SK, SL, SM, ST, SV, SY, TH, TJ, TM, TN, TR, TT, TZ, UA, UG, US, UZ, VC

Fターム(参考) 2F103 BA01 BA10 BA27 BA37 CA01 CA03 CA04 CA08 EA15 EB02  
EB05 EB08 EB12 EB16 EC11 EC13 EC14 FA02  
5F146 BA03 BA11 CB02 CB10 CC01 CC03 CC20 DA07 DB05 DC09

(注) この公表は、国際事務局(WIPO)により国際公開された公報を基に作成したものである。なおこの公表に係る日本語特許出願(日本語実用新案登録出願)の国際公開の効果は、特許法第184条の10第1項(実用新案法第48条の13第2項)により生ずるものであり、本掲載とは関係ありません。